

МИНИСТЕРСТВО НАУКИ И ВЫСШЕГО ОБРАЗОВАНИЯ РОССИЙСКОЙ ФЕДЕРАЦИИ
ФЕДЕРАЛЬНОЕ ГОСУДАРСТВЕННОЕ АВТОНОМНОЕ ОБРАЗОВАТЕЛЬНОЕ
УЧРЕЖДЕНИЕ ВЫСШЕГО ОБРАЗОВАНИЯ
«НОВОСИБИРСКИЙ НАЦИОНАЛЬНЫЙ ИССЛЕДОВАТЕЛЬСКИЙ ГОСУДАРСТВЕННЫЙ
УНИВЕРСИТЕТ» (НОВОСИБИРСКИЙ ГОСУДАРСТВЕННЫЙ УНИВЕРСИТЕТ, НГУ)

Факультет _____

Кафедра _____

Направление подготовки _____

ВЫПУСКНАЯ КВАЛИФИКАЦИОННАЯ РАБОТА БАКАЛАВРА

(Фамилия, Имя, Отчество автора)

Тема работы _____

«К защите допущена»

Заведующий кафедрой,

ученая степень, звание

...../.....

(фамилия, И., О.) / (подпись)

«.....».....20...г.

Научный руководитель

ученая степень, звание

должность, место работы

...../.....

(фамилия, И., О.) / (подпись)

«.....».....20...г.

Новосибирск, 20__

Содержание

| | |
|--|-----------|
| Список сокращений | 3 |
| 1 Введение | 4 |
| 2 Обзор литературы | 6 |
| 2.1 Сопряженные донорно-акцепторные хромофоры | 6 |
| 2.2 Подходы к синтезу 2-пиразолинов | 7 |
| 2.2.1 Синтез из халконов и гидразинов | 7 |
| 2.2.2 Синтез из аналогов халконов | 10 |
| 2.2.3 Синтез [3 + 2] циклоприсоединением | 11 |
| 2.3 Синтез других изомеров пиразолина | 13 |
| 2.3.1 Синтез 1-пиразолинов | 13 |
| 2.3.2 Синтез 3-пиразолинов | 14 |
| 2.4 Реакции пиразолинов | 15 |
| 2.4.1 Реакции окисления | 15 |
| 2.4.2 Реакции восстановления | 16 |
| 3 Результаты и обсуждение | 18 |
| 3.1 Взаимодействие формилированного декафтортриарилпиразолина с бинуклеофилами | 18 |
| 3.2 Методика введения разделительного блока | 20 |
| 3.3 Синтез красителей | 22 |
| 4 Экспериментальная часть | 26 |
| 5 Заключение | 33 |
| Список литературы | 34 |
| Приложение А Спектры некоторых соединений | 40 |

Список сокращений

| | |
|----------------|---|
| НСМО | Низшая Свободная Молекулярная Орбиталь |
| <i>in situ</i> | В реакционной смеси |
| Cy | Циклогексил |
| Bz | Бензоил |
| Bn | Бензил |
| ТСХ | Тонкослойная хроматография |
| ДМФА | N,N-диметилформамид |
| DMAP | 4-Диметиламинопиридин |
| DIAD | Диизопропилазодикарбоксилат |
| DCC | 1,3-Дициклогексилкарбодиимид |
| KCCB | Константа спин-спинового взаимодействия |
| TAFS | Toluic Acid Fluorinated Sulfide (бис[4-метил-3,5-бис({[2,3,5,6-тетрафтор-4-(трифторметил)фенил]тио}метил)бензоил) |
| TATBS | Toluic Acid Tert-Butyl Sulfide (3,5-бис({[4-(трет-бутил)фенил]тио}метил)4-метилбензоил) |
| MATBS | Mesitylenecarboxylic Acid Tert-Butyl Sulfide (3,5-бис({[4-(трет-бутил)фенил]тио}метил)-2,4,6-триметилбензоил) |
| MALDI | Matrix Assisted Laser Desorption/Ionization, Матрично-активированная лазерная десорбция/ионизация |
| TOF | Time-of-flight, Времяпролетный масс-анализатор |

1 Введение

Увеличивающиеся объемы передаваемой информации ставят задачу создания новых методов ее обработки, в том числе оптических. Большую перспективу имеют электрооптические (ЭО) модуляторы, основанные на композициях хромофор-полимер. Рабочей средой в таких устройствах является органический донорно-акцепторный хромофор, проявляющий нелинейность второго порядка.

Органические нелинейно-оптические (НЛО) материалы обладают важным преимуществом относительно неорганических — большими значениями НЛО восприимчивости второго порядка и, соответственно, меньшими величинами управляющих напряжений, и относительно полупроводниковых — высокой температурной стабильностью спектральных ЭО свойств.

Отличительным свойством органических НЛО материалов является возможность получения хромофоров, поглощающих в заданной области спектра. В настоящее время актуальны разработки материалов, работающих в двух спектральных областях: 1300–1550 нм (область нулевой дисперсии кварцевого оптического волокна) и 830–900 нм (окно прозрачности атмосферы).

Важными являются также пленкообразующие свойства органических хромофоров, так как эффективность работы ЭО модулятора зависит, в том числе, от эффективности ориентации молекул хромофора в полимерной матрице. С этой целью в структуру хромофоров вводятся разветвленные (дендроидные) заместители, препятствующие агрегации молекул хромофора в полимере при больших концентрациях.

Синтез хромофоров для ЭО модуляторов является одним из основных направлений научной тематики в Лаборатории органических светочувствительных материалов НИОХ СО РАН. В качестве таких хромофоров используются полиметиновые красители биполярной структуры с различной длиной полиметиновой цепи. Ранее в лаборатории был синтезирован ряд новых хромофоров для спектральной области 720–760 нм с использованием полифторированных триарилпиразолинов в качестве донорных блоков [1].

Целью данной работы является синтез новых нелинейных хромофоров на основе полифторированных триарилпиразолинов. Таким образом, были сформулированы следующие задачи:

1. Разработать подход к синтезу нелинейных хромофоров на основе полифторированных триарилпиразолинов, замещенных бифункциональными нуклеофилами для области 500–600 нм и для ИК-области.
2. Оптимизировать методику введения в молекулу хромофора дендроидных заместителей.

Вклад автора. Автором лично были получены все соединения, за исключением от-

Что напи-
сать?

дельно указанных.

2 Обзор литературы

2.1 Сопряженные донорно-акцепторные хромофоры

Сопряжённые донорно-акцепторные хромофоры представляют большой интерес из-за их электрооптических свойств: система сопряженных двойных связей позволяет образовывать низколежащую НСМО и реализовать внутримолекулярный перенос заряда. Они применяются в таких областях, как органическая электроника, электрооптика, фотовольтаика [2].

Общая структура донорно-акцепторного хромофора представлена на Рис. 2.1 и включает в себя донорный блок (**D**), π -сопряженный мостик (π) и акцепторный блок (**A**).

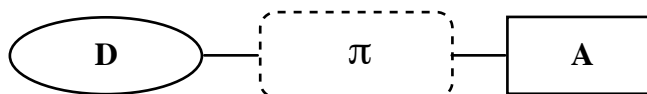


Рис. 2.1: Общая структура донорно-акцепторных хромофоров

Внутримолекулярный перенос заряда хорошо заметен при сравнении спектров поглощения анилина, нитробензола, *пара*- и *мета*-нитроанилина (Рис. 2.2). В спектре *пара*-нитроанилина присутствует интенсивная полоса переноса заряда из-за сопряжения, присутствующего в молекуле и возможности образования цвиттерионной резонансной структуры. В спектре *мета*-нитроанилина соответствующая полоса имеет гораздо меньшую интенсивность из-за отсутствия сопряжения между нитрогруппой и аминогруппой [2].

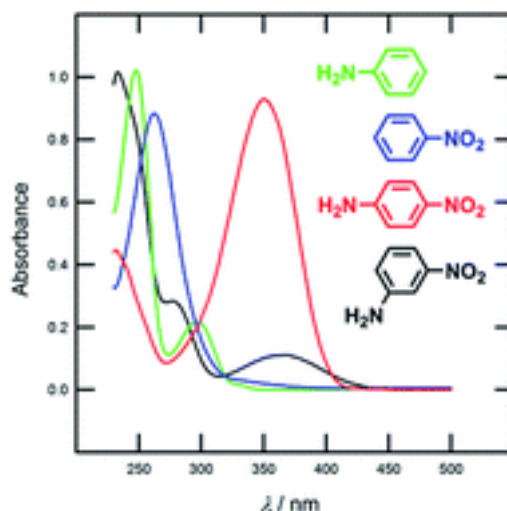


Рис. 2.2: Сравнение спектров поглощения анилина, нитробензола, *пара*- и *мета*-нитроанилина [2]

Донорно-акцепторные хромофоры могут иметь различные организации: линейную (дипольную) — $D-\pi-A$, квадрупольную — $D-\pi-A-\pi-D$ или $A-\pi-D-\pi-A$, октапольную — $(D-\pi)_3-A$ или $(A-\pi)_3-D$. В литературе описаны хромофоры с более редкими

структурами, такие как V-образная **1** [3], Y-образная [4], H-образная **2** [5] и X-образная **3** [6—8].

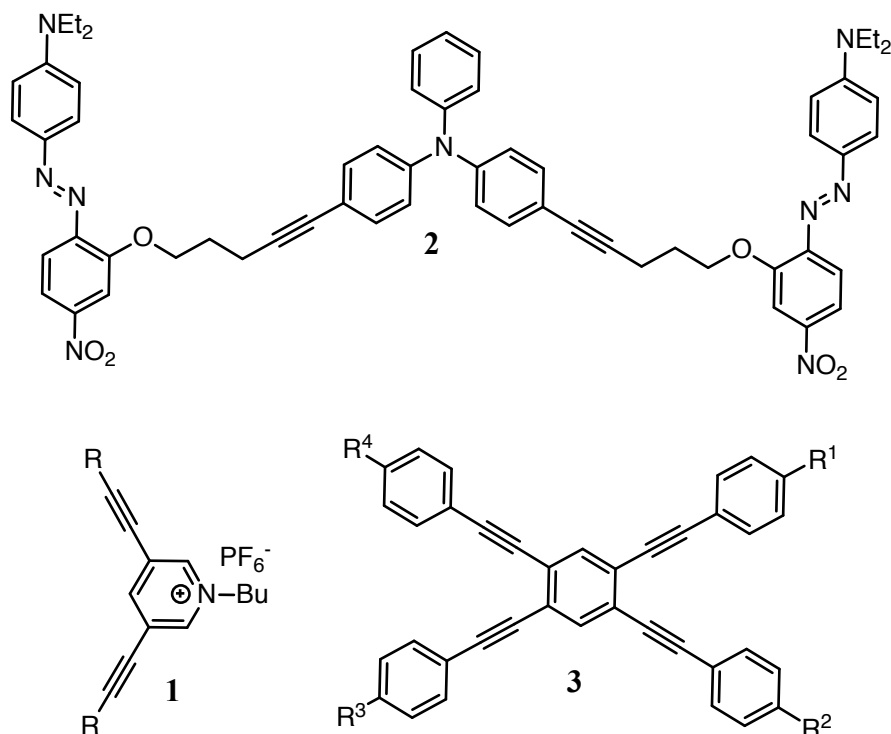


Рис. 2.3: Различные структуры нелинейных хромофоров

2.2 Подходы к синтезу 2-пиразолинов

2-Пиразолины (Рис. 2.4) были впервые синтезированы в 19 веке Фишером и Кнёвенагелем реакцией α,β -ненасыщенных альдегидов и кетонов с фенилгидразином при кипячении в уксусной кислоте.

Химия пиразолинов получила развитие в середине XX века в связи с применением арилпиразолинов в качестве оптических отбеливателей и органических сцинтиляторов. Благодаря их люминисцентным свойствам в настоящее время они используются для создания органических светодиодов (OLED) [9—11].

Производные пиразолина проявляют биологическую активность, поэтому их синтез представляет большой интерес [12—14]. Пиразолины проявляют противомикробную [15], противодиабетическую [16], противоэпилептическую [17], антиоксидантную [18], противовоспалительную [19] активность.

2.2.1 Синтез из халконов и гидразинов

Основным способом синтеза 2-пиразолинов является реакция конденсации халконов с гидразинами. Этот подход является достаточно общим, как было показано в работе [20], где

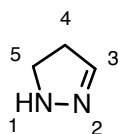


Рис. 2.4: Структура и нумерация атомов 2-пиразолина

таким способом была получена библиотека из 7680 1,3,5-триарилпиразолинов с различными заместителями во всех трех ароматических ядрах.

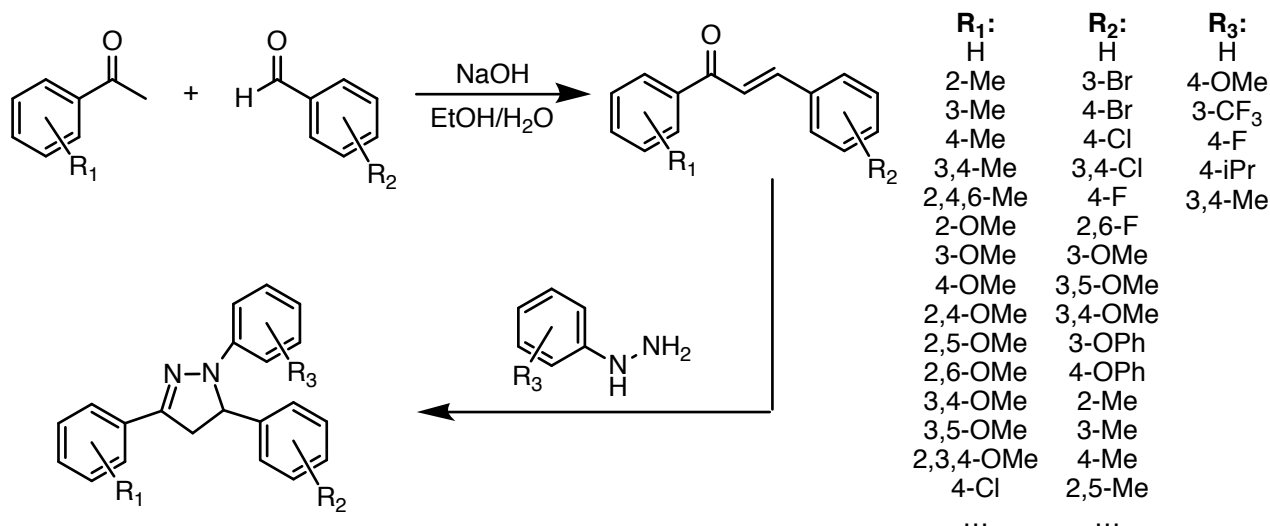


Схема 2.1

Халконы представляют собой соединения с двумя электрофильными центрами — карбонильной группой и сопряженной связью C=C. Однако в реакциях халконов с гидразинами наблюдается высокая региоселективность (в отличие от, например, 1,3-дикетонов), в реакцию с атомом азота первой вовлекается карбонильная группа. Такое поведение обычно объясняют повышенной нуклеофильностью первичного атома азота в замещенных гидразинах по сравнению с вторичным.

Механизм образования пиразолинов (Схема 2.2) включает в себя образование гидразона и атаку вторичного атома азота на сопряженную двойную связь, замыкающую цикл. Стадия замыкания цикла является лимитирующей и ее скорость значительно зависит от пространственного и электронного строения гидразона, а также от кислотности среды.

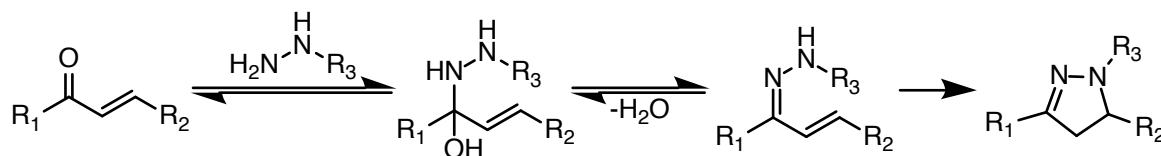


Схема 2.2

В случае фенилгидразина лимитирующей стадией является дегидратация, а стадия циклизации является быстрой и самопроизвольной. На ход реакции в наибольшей мере влияет заместитель при карбонильной группе (R_1) и его влияние мало зависит от кислотности среды. Было показано, что реакция фенилгидразина с диарилденацетонами происходит по фрагменту, содержащему донорную группу [21].

Обычно сначала получают халкон конденсацией Кляйзена-Шмидта в основных условиях и вводят его в реакцию с арилгидразином в кислых условиях. Однако описаны как конденсация в кислых условиях [22; 23], так и циклизация в основных [24—28].

Существует *one-pot* модификация этого метода (Схема 2.3), в этом варианте халкон не выделяется в индивидуальном виде, а сразу же реагирует с фенилгидразином, присутствующим в реакционной смеси. При этом реакция проводится целиком в основной среде [29].

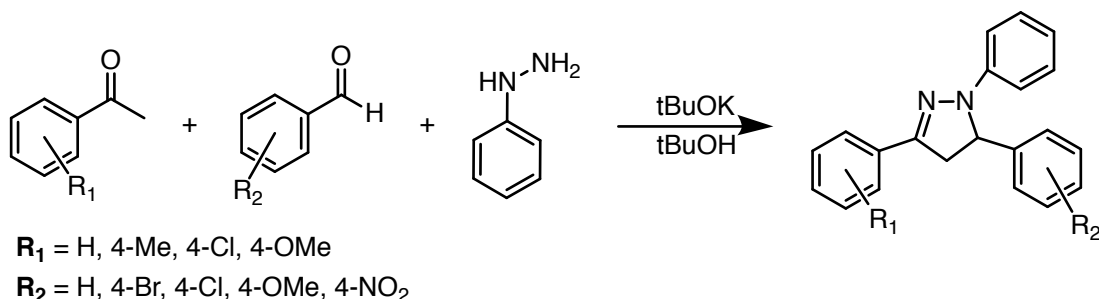


Схема 2.3

В недавнее время были предприняты попытки проводить реакцию в более экологических условиях, используя в качестве циклизующего агента вольфрамсерную кислоту [30] и целлюлозосульфоновую кислоту [31]. Также в качестве экологически чистых методов исследовались синтез в водных растворах [32], механохимический синтез [33], микроволновый синтез [34] и ультразвуковой синтез [35].

Получение полифторированных триарилпиразолинов несет в себе больше сложностей: в случае разных заместителей халкона часто не удается подобрать условия реакции таким образом, чтобы получать селективно один региоизомер — образуется смесь продуктов с разными заместителями в положениях 3 и 5. Так, в работе [36] изучается взаимодействие фенилгидразина с халконами, с одним полифторированным кольцом (Схема 2.4).

Было обнаружено, что халконы с акцепторным заместителем при двойной связи при кипячении образуют один региоизомер пиразолина, а халконы с акцепторным заместителем при карбонильной группе — два региоизомера в сравнимых количествах. Это можно объяснить большим различием σ^* -констант заместителей при двойной связи ($\text{C}_6\text{F}_5\text{CO}$ и Ph), из-за чего усиливается электрофильный характер β -атома углерода, что дает возможность нуклеофильной атаки фенилгидразина как по карбонильной группе, так и по двойной связи.

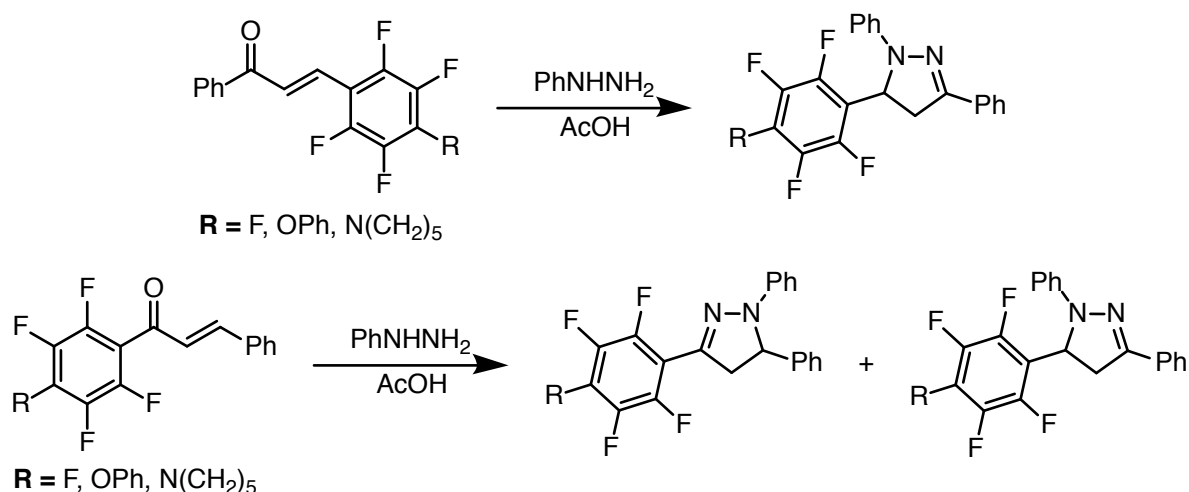


Схема 2.4

2.2.2 Синтез из аналогов халконов

Сопряженные енины можно считать аналогами халконов, поскольку при гидратации тройной связи образуется соответствующий кетон. В работе [37] была исследована реакция циклизации арилгидразинов с 1,3-енинами при катализе различными метал-содержащими реагентами (Схема 2.5). Было показано, что при микроволновом облучении смеси сопряженных енинов с арилгидразинами в присутствии $\text{Zn}(\text{OTf})_2$ наблюдается наилучший выход соответствующих пиразолинов. В ходе реакции происходит двойное гидроаминирование сначала тройной, а потом двойной связи.

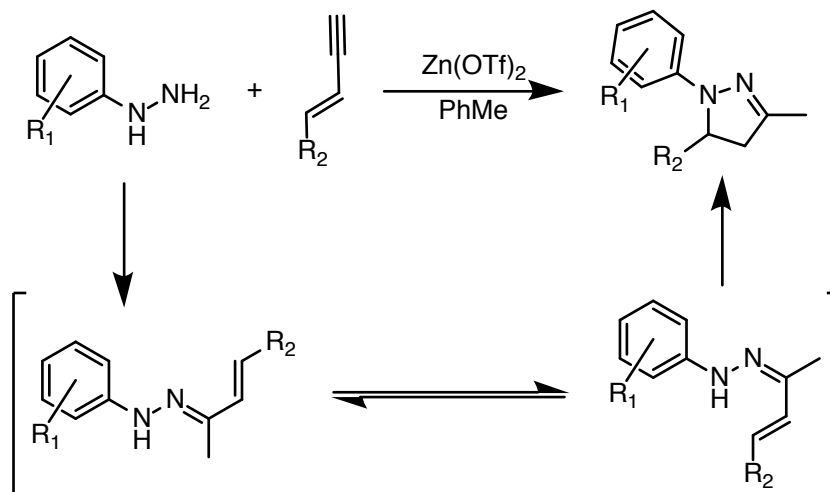
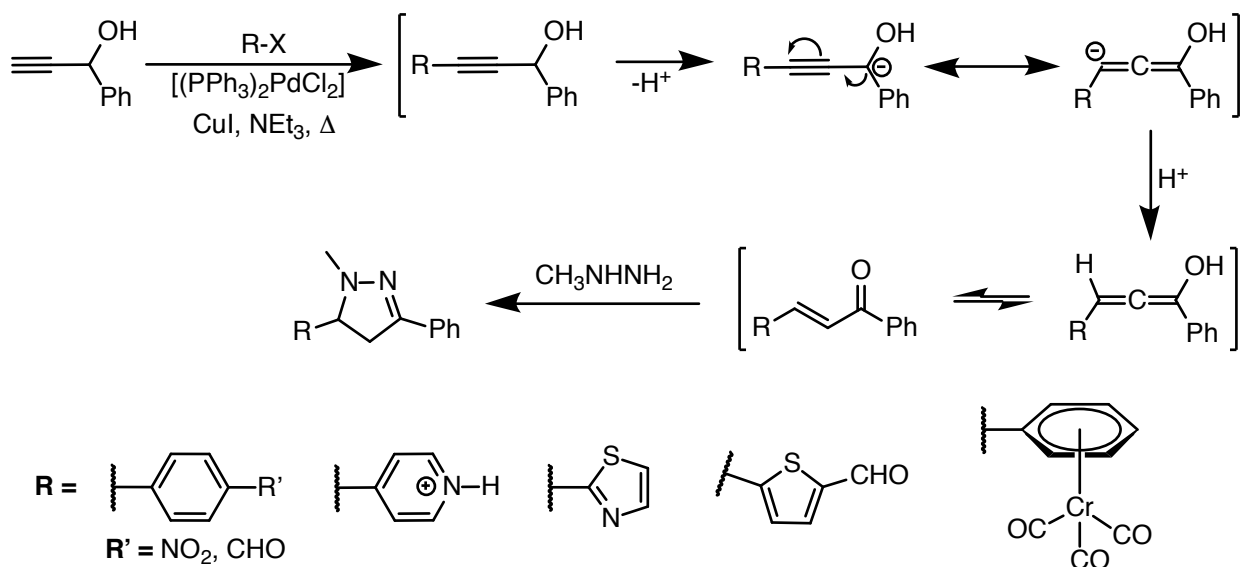


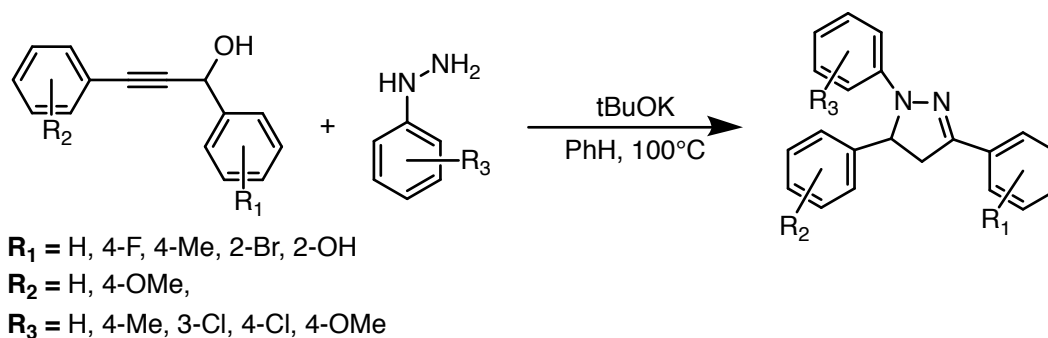
Схема 2.5

Некоторые пропаргиловые спирты способны вступать в перегруппировку с образованием халконов. При исследовании реакции сочетания Соногаширы вторичных пропаргиловых спиртов с арилгалогенидами было обнаружено, что при наличии акцепторных замести-

телей в арилгалогениде такая перегруппировка может происходить под действием триэтиламина, который присутствует в реакционной смеси (Схема 2.6) [38].



Пропаргиловые спирты, не содержащие акцепторных заместителей, также способны вступать в эту перегруппировку, однако в более жестких условиях. В работе [39] была разработана и оптимизирована методика синтеза пиразолинов из пропаргиловых спиртов и арилгидразинов в присутствии tBuOK (Схема 2.7).



2.2.3 Синтез [3 + 2] циклоприсоединением

Второй способ синтеза пиразолинов использует [3 + 2] циклоприсоединение илидов азометиновых иминов **4** к алкинам. Циклоприсоединение 1,3-диполей к диполярофилам является удобным способом получения пятичленных циклов. Наиболее известным примером таких реакций является присоединение азидов к алкинам. Считается, что [3 + 2] циклоприсоединение идет по согласованному механизму. Использование комплексов металлов с хи-

ральными лигандами в качестве катализаторов позволяет селективно получать энантиомерно чистые пиразолины. Циклоприсоединение илидов азометиновых иминов к алкенам дает полностью насыщенные аналоги пиразолинов — пиразолидины [40].

Какой-то
несогла-
сованный
абзац

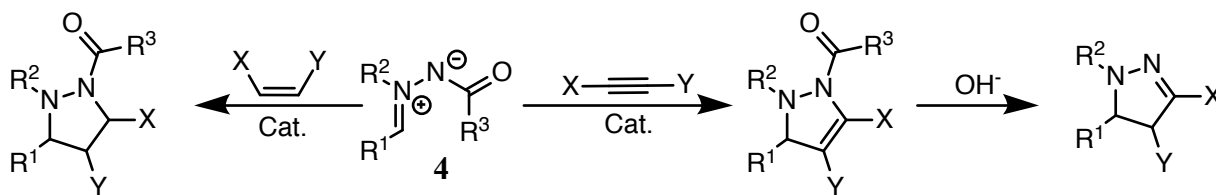


Схема 2.8

Азометиновые имиды можно представить в виде четырех резонансных структур (Рис. 2.5) — двух иминных и двух диазониевых. Чаще всего их изображают с зарядами, локализованными на атомах азота, такое распределение зарядов соотносится с квантовомеханическими расчетами [40].

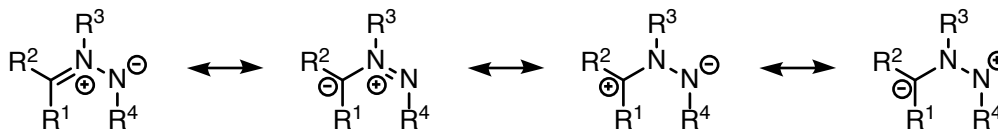


Рис. 2.5: Резонансные структуры илидов азометиновых иминов

Синтез пиразолинов, исходя из ациклических илидов азометиновых иминов, получаемых *in situ*, был подробно изучен в работе [41]. В этой работе было синтезировано более 18 пиразолинов и проведена оптимизация условий реакции: было изучено влияние различных солей Cu(I) и заместителей лигандов и субстратов.

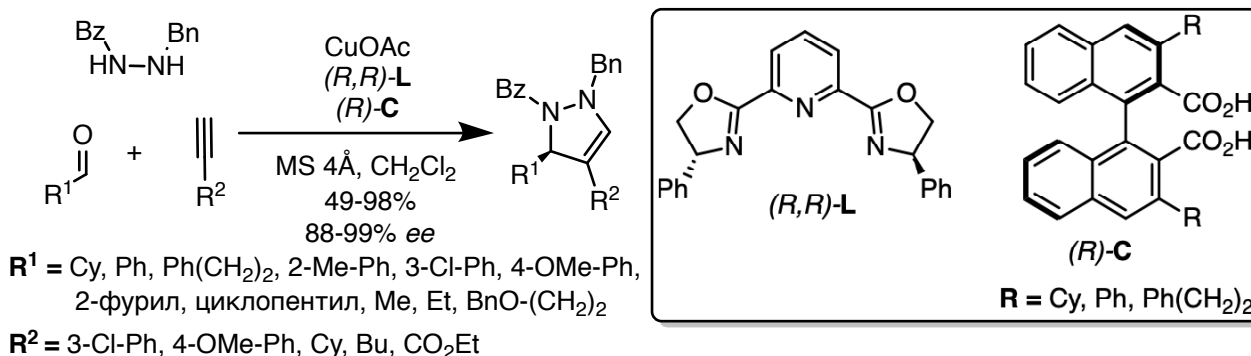


Схема 2.9

В [26] библиотека 2-пиразолинов с различными заместителями в положениях 3 и 4 была получена с помощью [3 + 2] циклоприсоединения нитрилимидов к сопряженным оксазолидинонам под действием триэтиламина (Схема 2.10). Реакция является энантиоселективной. Наряду с целевым региоизомером (C) образовывался другой региоизомер (N). Попытки

контролировать образование региоизомеров с помощью активации различными кислотами Льюиса ($\text{Mg}(\text{ClO}_4)_2$, $\text{Mg}(\text{NTf}_2)_2$, TiCl_4 , SnCl_4 , $\text{Yb}(\text{OTf})_3$) привели к снижению региоселективности. Охлаждение реакционной смеси до -78°C улучшает региоселективность реакции.

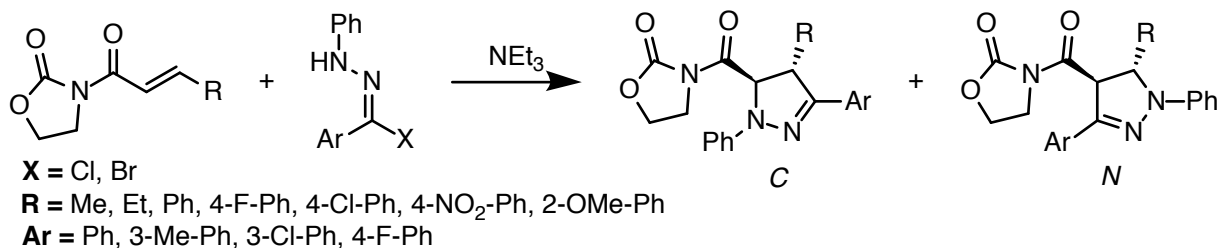


Схема 2.10

2.3 Синтез других изомеров пиразолина

2.3.1 Синтез 1-пиразолинов

В работах [42—45] описан синтез 1-пиразолинов из соединений, содержащих двойную связь и производных диазометана. Обычно 1-пиразолины нестабильны и склонны к перегруппировке в соответствующие 2-пиразолины (Схема 2.11), что было показано в [43; 44].

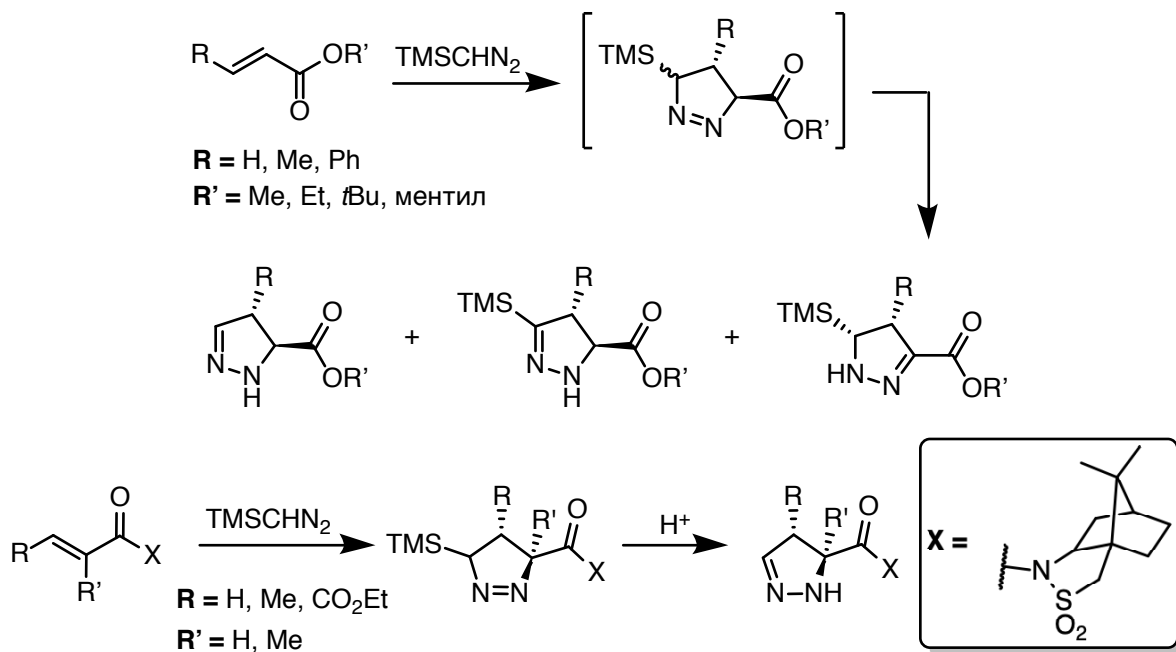
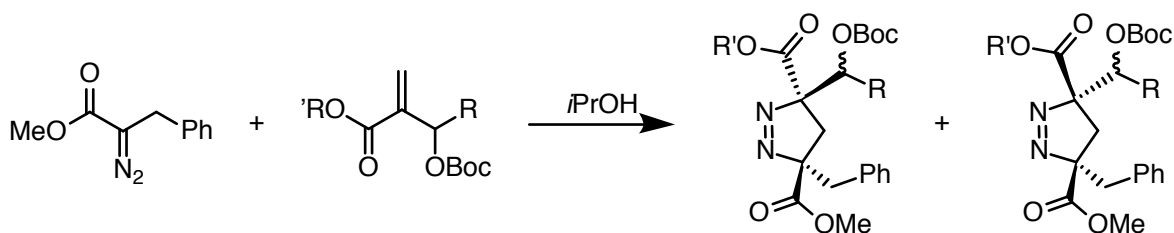


Схема 2.11

Тетразамещенные 1-пиразолины полученные в работе [45] из защищенных аддуктов Бейлиса-Хиллмана и ацилдиазометанов имеют по два заместителя в положениях 3 и 5, и поэтому не могут перегруппироваться в соответствующие 2-пиразолины (Схема 2.12).



R = 4-NO₂-Ph, 4-CN-Ph, 4-F-Ph, 4-Cl-Ph, 4-Br-Ph, Ph, 4-Me-Ph, 3-CF₃-Ph, 3-Me-Ph, 2-Br-Ph, 2-нафтил...
R' = Me, Et

Схема 2.12

В [42] взаимодействием цефалоспорина содержащего экзоциклическую связь и ди-азометана был получен сравнительно стабильный 1-пиразолин. Полученное соединение не подвергается никакому изменению при кипячении в толуоле в течение восьми дней, но в диметилформамиде дает смесь двух продуктов: циклопропана, соответствующего присоединению карбена по исходной двойной связи, и винильного производного (Схема 2.13).

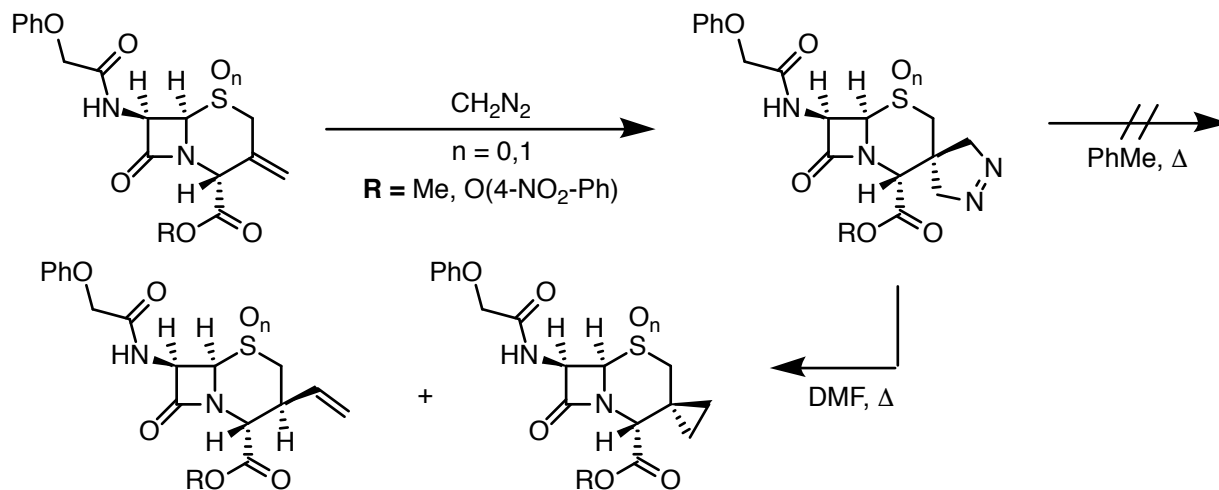


Схема 2.13

2.3.2 Синтез 3-пиразолинов

3-Пиразолины существуют только в 1,2-дизамещенном виде за исключением нескольких примеров. Для 3-пиразолинов незамещенных по обоим атомам азота существует лишь один пример описанный в [46], 3-пиразолины, замещенные только по одному атому азота несколько более известны [47—50].

Главным способом синтеза 1,2-замещенных 3-пиразолинов является реакция Манни-ха симметричных дизамещенных гидразинов с формальдегидом и кетоном. Получающееся основание Манни-ха вступает во внутримолекулярную циклизацию с образованием соответствующего 3-пиразолина (Схема 2.14). Позиция двойной связи была подтверждена с помо-

щью ИК-спектроскопии, показавшей наличие сопряжения между двойной связью пиразолина и бензольным кольцом.

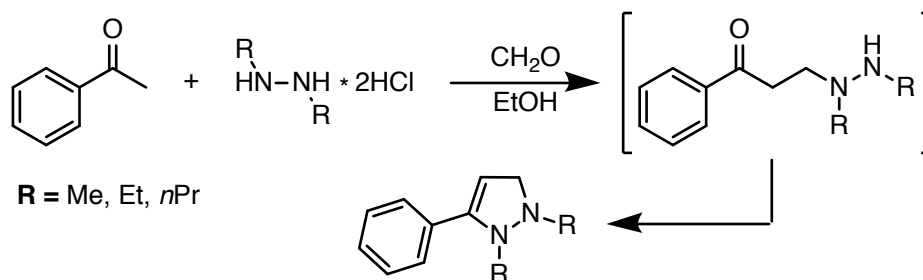


Схема 2.14

Конденсация гидразида фталевой кислоты с коричным альдегидом дает региоизомерные 3-пиразолины (Схема 2.15), которые при гидролизе превращаются в соответствующие 2-пиразолины. Образование 3-пиразолина было подтверждено с помощью расщепления молекулы и элементного анализа [51].

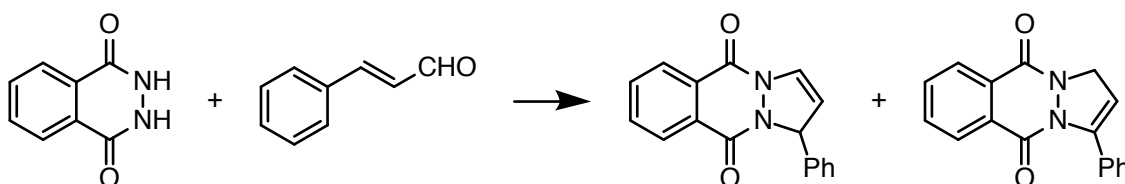


Схема 2.15

Циклоприсоединение илидов азометиновых иминов, полученных из 1,2-дизамещенных гидразинов к алкинам дает 3-пиразолины, которые, при снятии защитной группы с одного из атомов азота, перегруппируются в 2-пиразолины (Схема 2.9 на стр. 12).

2.4 Реакции пиразолинов

2.4.1 Реакции окисления

Пиразолины неустойчивы к окислению — они могут быть переведены в соответствующие пиразолы действием различных окислителей (Схема 2.16). При этом возможно как стехиометрическое окисление [52—57], так и каталитическое [58—60].

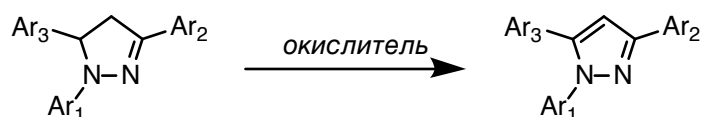


Схема 2.16: Окисление пиразолинов в пиразолы

Также описано окисление пиразолинов в хлорированных растворителях (1,2-дихлорэтан и CCl_4) под действием видимого света. В этом случае в качестве окислителя

выступает растворитель. Для этой реакции в работах [61; 62] был предложен механизм (Схема 2.17), включающий фотовозбуждение молекулы пиразолина, перенос электрона на молекулу растворителя и дальнейшие превращения получившегося катион-радикала.

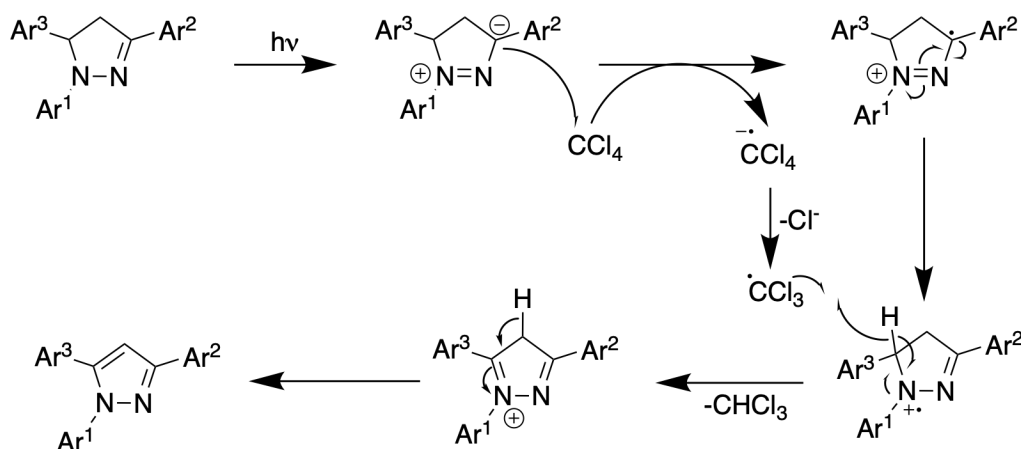


Схема 2.17: Предполагаемый механизм окисления пиразолинов под воздействием света

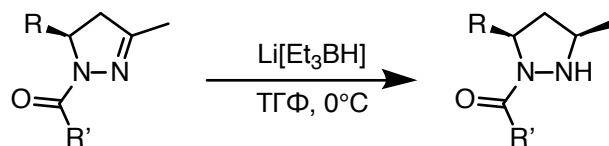
Раддикальный характер этой реакции подтверждается тем, что добавление в реакционную смесь радикальных ингибиторов замедляют реакцию. Однако полного ингибирования не наблюдается, поскольку стадия образования пиразолинииевого радикала не является лимитирующей [62].

2.4.2 Реакции восстановления

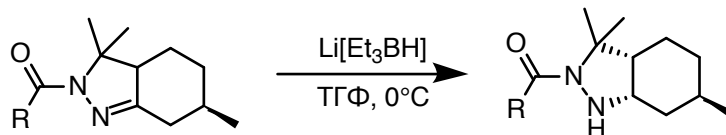
Двойная связь C=N в пиразолинах может быть восстановлена типичными реагентами — комплексными гидридами. В работах [63; 64] авторы использовали триэтилборгидрид лития в тетрагидрофуране, а в [65] — цианоборгидрид натрия в уксусной кислоте (Схема 2.18). В каждом случае было испробовано несколько восстановителей и выбор конкретного — баланс между выходом целевого продукта и образованием побочных продуктов (например, деацилирования).

В других условиях пиразолины можно восстановить с расщеплением связи N—N. Восстановление пиразолинов натрием в этаноле можно использовать для получения 1,3-диаминозамещенных пропанов [51]. Для получения 1,3-диаминокарбоновых кислот в работе [66] использовали восстановление водородом под давлением на никеле Ренея (Схема 2.19).

Стадии восстановления и расщепления связи N—N могут быть отделены. В [41] пиразолины восстанавливали водородом на палладиевом катализаторе и расщепляли связь N—N под действием SmI₂, энантиоселективно получая 1,3-аминозамещенные соединения (Схема 2.20).



R = Ph, 4-Me-Ph, 2-фурил, *t*Bu, 4-OMe-Ph
R' = Me, Ph



R = Me, Ph, 4-OMe-Ph, C₆F₅, 2,4,6-Me-Ph, 1-нафтил

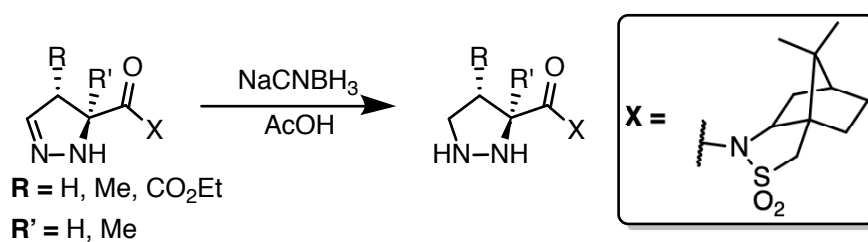


Схема 2.18

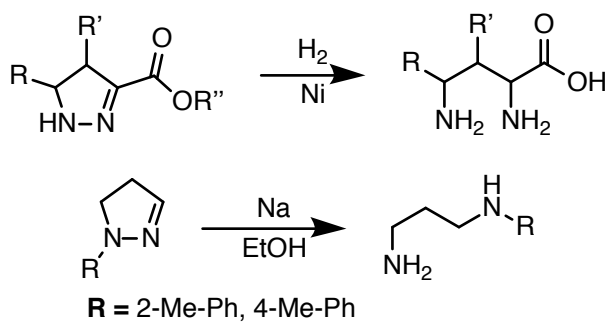


Схема 2.19

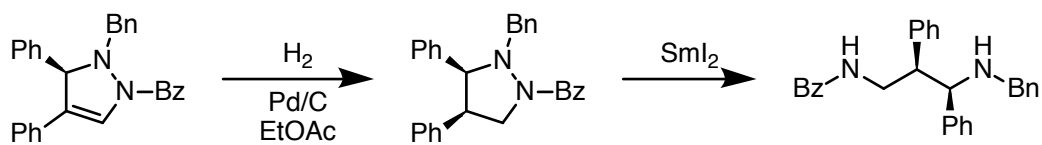


Схема 2.20

3 Результаты и обсуждение

Ранее было показано [1; 67], что формильные производные триарилпиразолинов, содержащих полифторфенильные остатки в положениях 5 или 3 пиразолинового цикла, могут служить эффективными донорами в синтезе сопряженных донорно-акцепторных хромофоров с поглощением при 720–760 нм. В развитие этой тематики была поставлена задача синтеза Д-А хромофоров с использованием декафторзамещенных производных триарилпиразолина. Наличие двух пентафторфенильных групп дает дополнительные возможности для модификации донорного фрагмента.

Альдегид **5** был наработан по литературной методике [36; 68]. Его получение представляет собой многостадийный процесс (Схема 3.1). Альдольно-кетоновой конденсацией пентафторацетофенона **6** с пентафторбензальдегидом **7** получали декафторхалкон **8**, который переводили в пиразолин **9** конденсацией с фенилгидразином. Далее кольцо в положении 1 пиразолина **9** формилировали реакцией Вильсмайера, получая альдегид **5**.

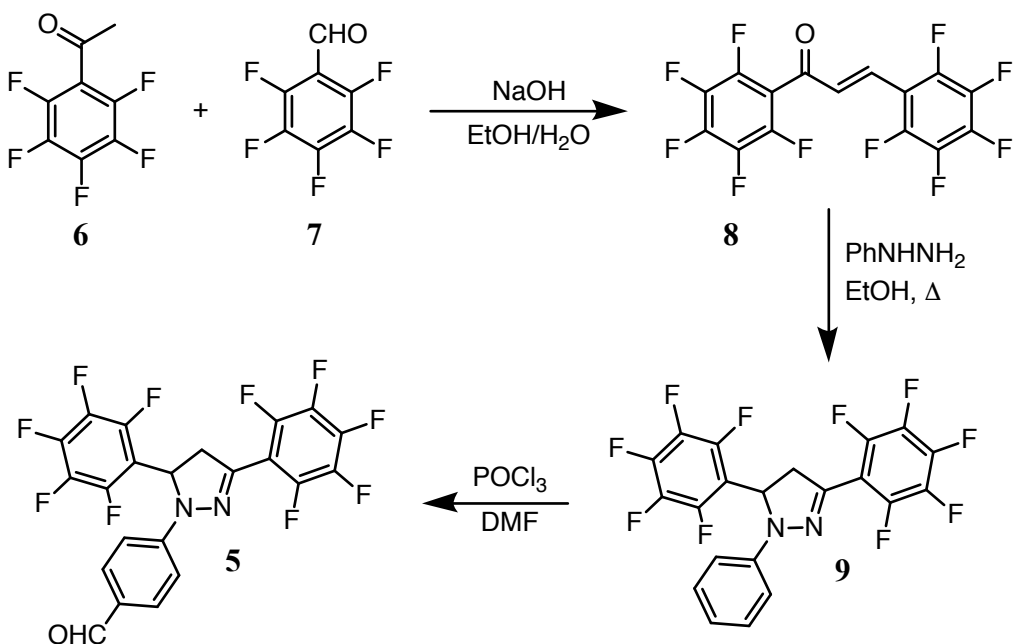


Схема 3.1

3.1 Взаимодействие формилированного декафтортриарилпиразолина с бинуклеофилами

Далее атом фтора в *пара*-положении обоих колец замещали на бифункциональный нуклеофил: 4-гидроксипиперидин или пиперазин (Схема 3.2). При 60 °С реакция замещения фтора в обеих пентафторфенильных группах на остатки 4-гидроксипиперидина не идет до конца, в смеси присутствует примесь исходного соединения. Поэтому реакционную смесь

выдерживали при 100 °С. Из реакционной смеси были выделены два соединения — целевой альдегид с двумя гидроксипиперидиновыми остатками и альдегид, содержащий в одном из колец диметиламиногруппу. Положение диметиламиногруппы было установлено реакцией альдегида **5** с недостатком 4-гидроксипиперидина, при которой незамещенным и, следовательно, менее реакционноспособным оказалось перфторфенильное кольцо в положении **5**.

РСА

Спектры ЯМР продукта **10a** явно отражают его структуру. В спектре ЯМР ^1H наблюдаются сигнал альдегидного протона; сигналы системы $AA'BB'$ *para*-фениленового кольца; три дублета дублетов, соответствующие системе ABX пиразолинового кольца; в сильном поле — мультиплеты, соответствующие протонам пиперидиновой группы, в том числе сложный мультиплет, принадлежащий протону $\text{CH}-\text{OH}$. Спектр ^{19}F также имеет характерный вид и содержит уширенный синглет, который соответствует атомам фтора в *ortho*-положении кольца в **5** положении пиразолина. Считается, что это уширение связано с взаимодействием этих атомов фтора с ароматическим кольцом в **1** положении пиразолина.

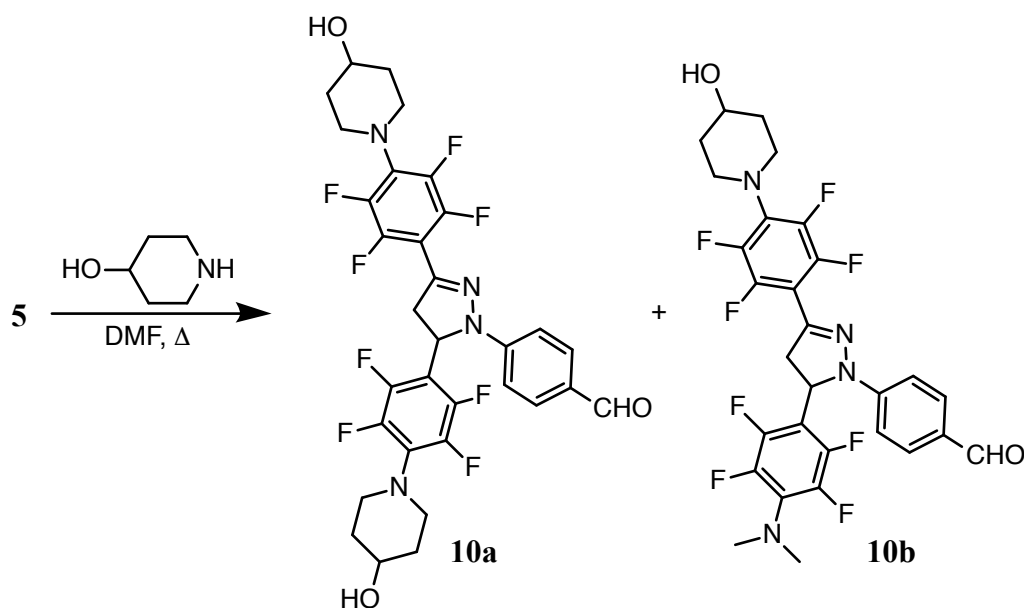


Схема 3.2

Первоначально пиперазин вводили в тех же условиях, что и 4-гидроксипиперидин при этом из реакционной смеси был выделен только продукт олигомеризации (сшивки) по пиперазиновым группам. При проведении реакции при температуре 80 °С и десятикратном избытке пиперазина в реакционной смеси удастся выделить продукт замещения обоих атомов фтора на остатки пиперазина в смеси с, предположительно, продуктом замещения одного из атомов фтора на диметиламиногруппу, аналогично реакции с 4-гидроксипиперидином.

уточнить

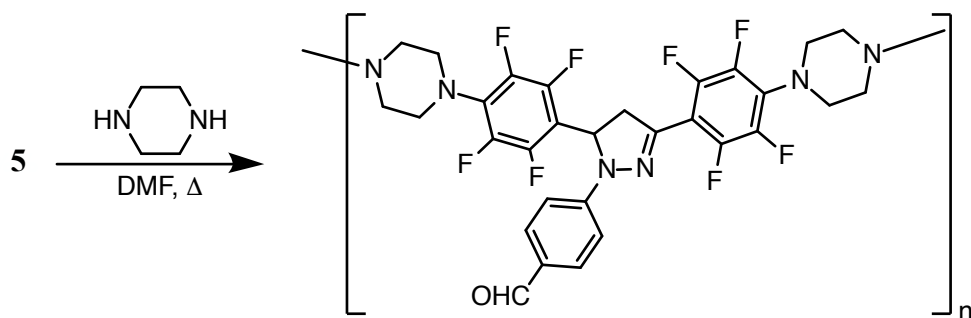


Схема 3.3

3.2 Методика введения разделительного блока

После этого гидроксигруппу альдегида **10a** ацилировали хлористым бензоилом (Схема 3.4). Были испытаны два подхода: бензоилирование большим избытком хлористого бензоила и бензоилирование с катализом DMAP и стехиометрическим количеством хлористого бензоила. В результате было обнаружено, что использование DMAP позволяет сократить время реакции с 6–8 часов до 2 в случае хлористого бензоила и требует гораздо меньшего избытка хлорангидрида (1.25 экв. против 3 экв. при проведении реакции без катализатора).

О полном ацилировании OH-групп можно судить по смещению сигнала протонов CH–OH в слабое поле.

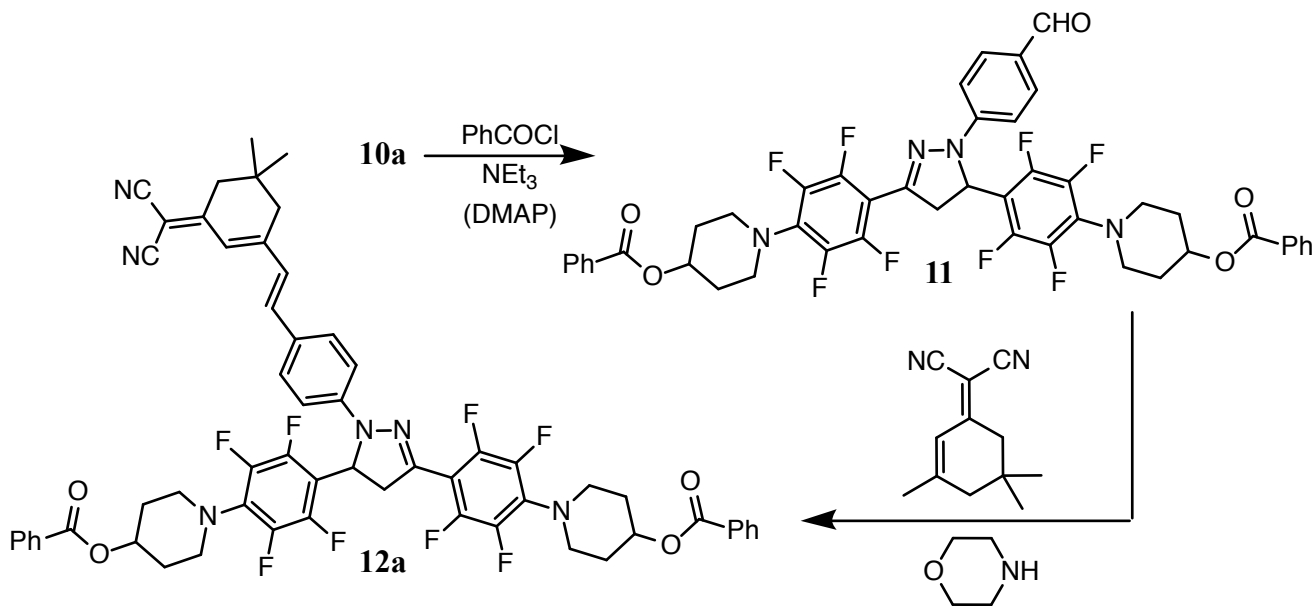


Схема 3.4

Также мы исследовали альтернативную последовательность реакций: конденсацию альдегида **10a** с дицианоизофороном и последующее ацилирование полученного OH-красителя **13a** (Схема 3.5).

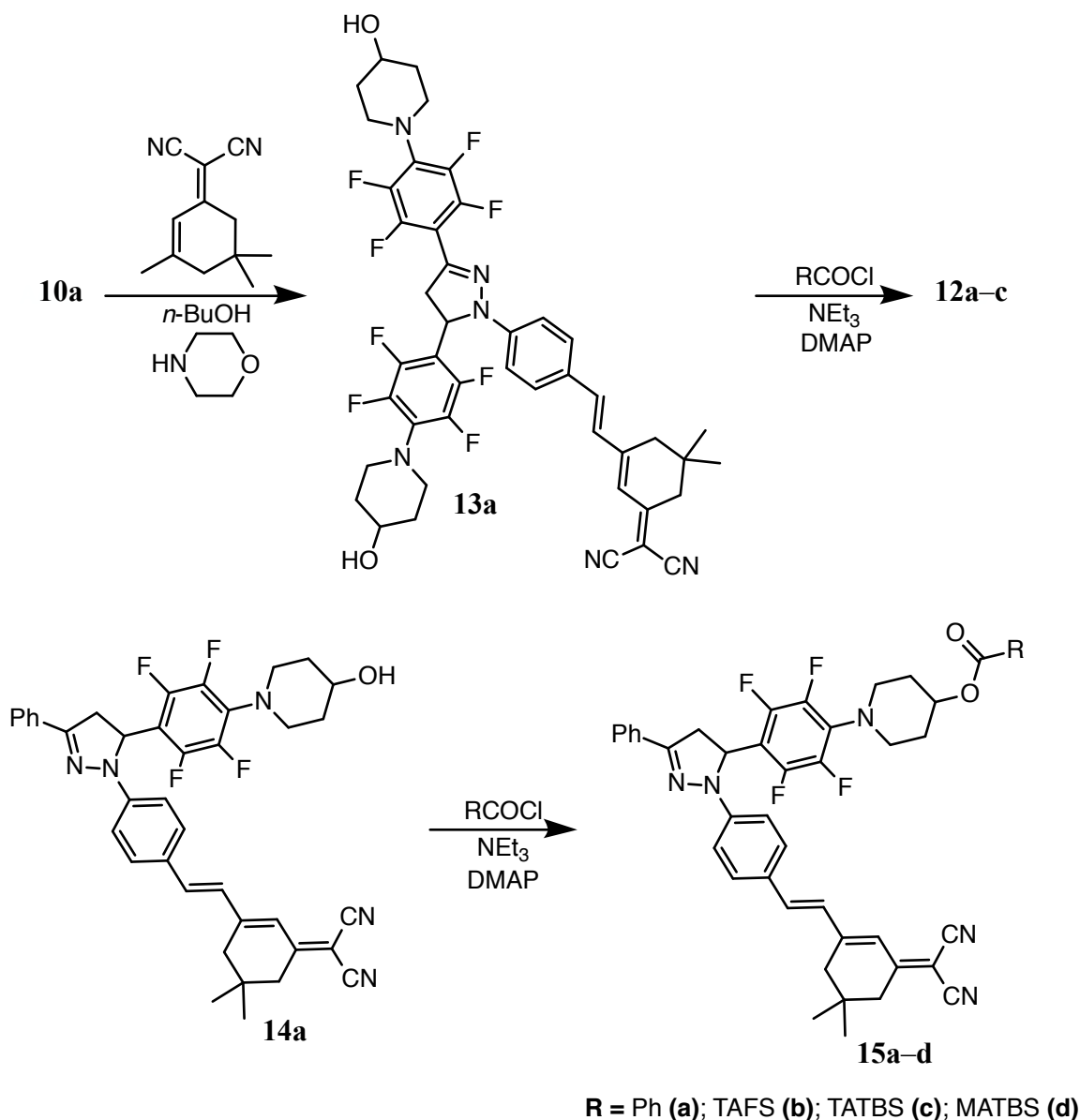


Схема 3.5

При сопоставимых выходах на стадии ацилирования более выгодным является подход с конденсацией и последующим ацилированием, поскольку он позволяет использовать меньшее количество хлорангидрида, получение которого представляется собой значительную сложность. В итоге оптимизированная последовательность реакций и методика ацилирования позволила снизить требуемое количество ацилирующего реагента и повысить выход (для соединения **15a** без катализатора выход составляет 6–15 % [1]).

В спектре ЯМР ^1H соединения **13a** характеристическими являются сигналы *AB*-системы двойной связи с КССВ около 15 Гц, что указывает на *E*-конфигурацию двойной связи, синглет при 6.72 м.д., соответствующий протону при двойной связи дицианоизофороны, два синглета при 2.61 и 2.55 м.д., принадлежащих CH_2 группам дицианоизофороны и синглет при 1.04 м.д., принадлежащий двум метильными группам дицианоизофороны.

Таблица 3.1

| № | Субстрат | Экв. реагента | Продукт | Условия | Время реакции, ч | Выход, % |
|---|------------|---------------|------------|------------------------------|------------------|----------|
| 1 | 10a | 6 | 11 | PhH, NEt ₃ | 24 | 74 |
| 2 | 10a | 2.5 | 11 | PhH, NEt ₃ , DMAP | 6 | 74 |
| 3 | 13a | 3 | 12a | PhH, NEt ₃ , DMAP | 2 | 25 |
| 4 | 13a | 3 | 12b | PhH, NEt ₃ , DMAP | 2 | 30 |
| 5 | 13a | 3 | 12c | PhH, NEt ₃ , DMAP | 6 | 55 |

Мы обнаружили, что в реакции бензоилирования **13a** при длительной выдержке реакционной смеси вместо пиразолина **12a** образуется соответствующий пиразол. На образование пиразола указывает отсутствие в ¹H ЯМР спектре сигналов *ABX*-системы пиразолина и отсутствие в спектре ¹⁹F уширенного синглета.

Также мы наблюдали окисление пиразолина **12a** в пиразол даже при кратковременной выдержке в темноте в хлорированных растворителях (CH₂Cl₂ и CDCl₃). При этом для предшественника соединения **12a** — альдегида **10a** окисления не наблюдалось даже при длительной выдержке в хлороформе на свету. Это может быть связано с предполагаемым механизмом окисления (Схема 2.17 на стр. 16); введение в молекулу акцептора упрощает образование цвиттерионной структуры, играющей ключевую роль в процессе окисления. Таким образом, наилучшая стратегия при синтезе и очистке производных альдегида **10a** — избегать хлорсодержащих растворителей.

как-то кри-
во

3.3 Синтез красителей

По оптимизированной методике (Схема 3.5) мы синтезировали производные соединений **13a** и **14a** с разделительными блоками (Рис. 3.1) — эфиры **12a–c** и **15a–d**. В целом, реакция ацилирования идет достаточно быстро и с хорошим выходом (Таблица 3.1, Таблица 3.2), однако в случае соединения **15d** выход продукта составляет всего 7.5 %.

Написать?

Это может быть связано с тем, что хлорангидрид является стерически затрудненным, а следовательно, затруднен подход ОН-группы к карбонильной группе. Для получения соединения **15d** мы использовали несколько вариаций общей методики: увеличение времени реакции, замена растворителя с бензола на ацетонитрил, проведение реакции при повышенной температуре с нагревом микроволновым излучением, однако это не привело к повышению выхода.

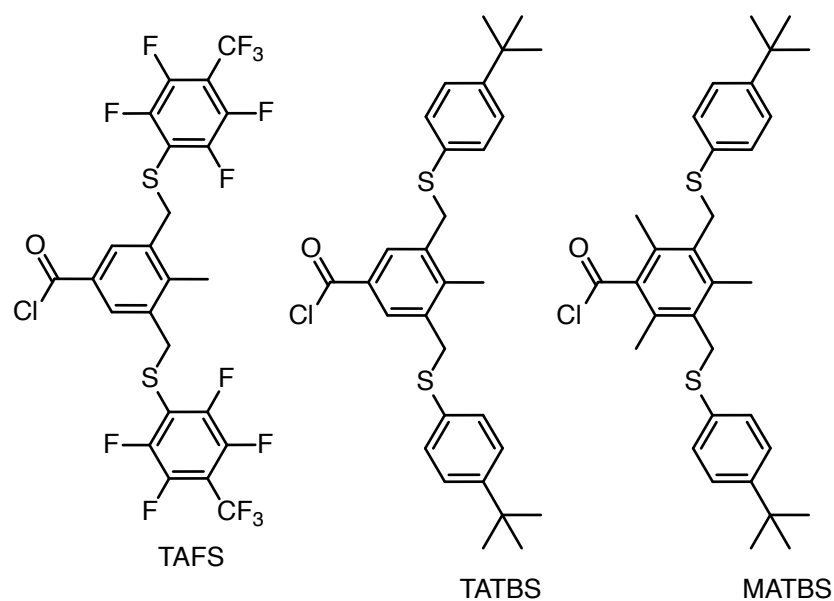


Рис. 3.1: Структуры использованных разделительных блоков

Таблица 3.2: Результаты ацилирования соединения **14a**

| № | Реагент | Экв. реагента | Продукт | Условия | Время реакции, ч | Выход, % |
|----------------|----------|------------------|------------|-------------------------------|---------------------|----------|
| 1 | PhCOCl | 1.5 | 15a | PhH, NEt ₃ , DMAP | 4 | 92 |
| 2 | TAFS–Cl | 1.5 | 15b | PhH, NEt ₃ , DMAP | 2.5 | 97 |
| 3 | TATBS–Cl | 1.5 | 15c | PhH, NEt ₃ , DMAP | 3 | 59 |
| 4 | TATBS–OH | 1 | 15c | ТГФ, DIAD, PPh ₃ | 2.5 | 70 |
| 5 | TATBS–OH | 1 | 15c | PhH, DCC, DMAP | 12 | 22 |
| 6 | MATBS–Cl | 1.5 | 15d | PhH, NEt ₃ , DMAP | 12 | 7.5 |
| 7 | MATBS–Cl | 1.5 | 15d | MeCN, NEt ₃ , DMAP | 36 | 7.5 |
| 8 ¹ | MATBS–Cl | 1.5 | 15d | PhMe, NEt ₃ , DMAP | 0.5 | 2.5 |

¹ Реакцию проводили в микроволновом реакторе при температуре 150 °C

Так же на то, что реакция проходит не до конца, указывает получение при очистке реакционной смеси желтой фракции, содержащей по данным ЯМР- и ИК-спектроскопии смесь исходного хлорангидрида и соответствующий кислоты.

В качестве альтернативных способов получения целевых эфиров мы также исследовали реакцию Мицунобу и реакцию Штеглиха (взаимодействие спирта с кислотой в присутствии DCC и DMAP). Реакция Мицунобу позволяет получать эфиры из спиртов и карбоновых кислот в присутствии диизопропилазодикарбоксилата (DIAD) и трифенилфосфина. Применение этой реакции для получения соединения **15c** позволило еще больше снизить требуемое количество ацилирующего реагента (в реакции Мицунобу он берется эквимолярно) и получить целевое соединение с даже большим выходом, чем при ацилировании с помощью хлорангидрида.

Соединения имеют максимум поглощения на длине волны 490–500 нм в ацетоне, который не зависит от структуры введенного разделительного блока, поскольку тот не включен в цепь сопряжения (Рис. 3.2).

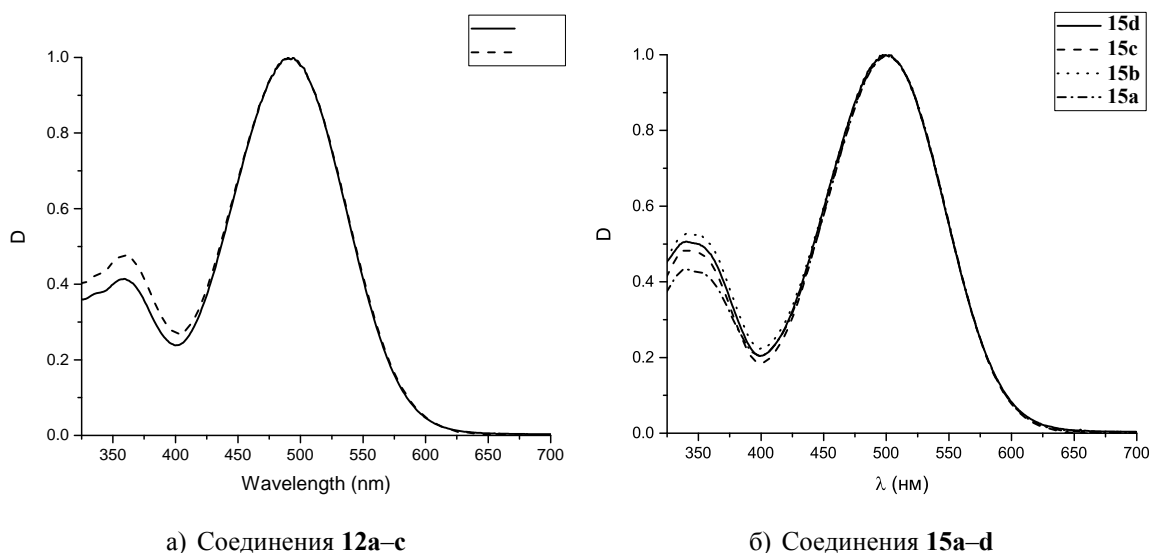


Рис. 3.2: Нормированные электронные спектры поглощения полученных красителей

В спектрах ЯМР ^1H соединений **15b–d** наблюдается сигнал около 4.2 м.д., соответствующий $\text{S}-\text{CH}_2$ фрагменту разделительного блока и сигналы около 2.5 м.д., соответствующие ароматическим метильным группам. Для соединений **15c,d** при 1.2 м.д. в спектре присутствует сигнал *трет*-бутильной группы. Ароматические протоны основного кольца в соединениях **15b,c** проявляются в виде синглета при 7.7–7.8 м.д.. В спектрах соединений **12a–c** описанные сигналы выглядят как дублеты из-за неэквивалентности двух заместителей. Спектры ^{19}F соединений **12b** и **15b** соответствуют структуре TAFS-фрагмента.

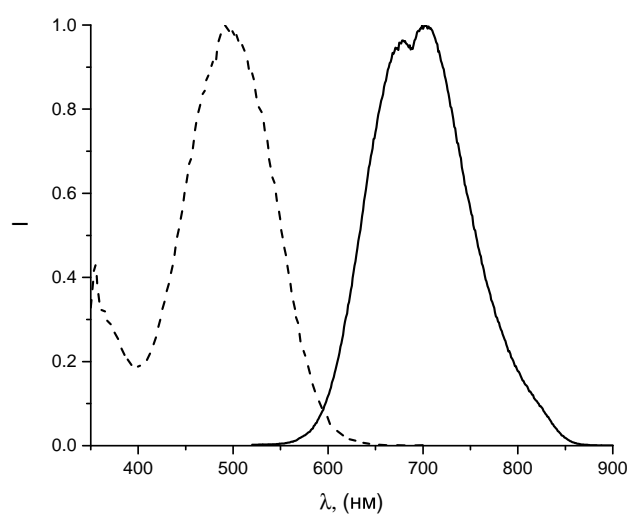


Рис. 3.3: Спектры флуоресценции (сплошная линия) и возбуждения флуоресценции (пунктирная линия) соединения **12b**

4 Экспериментальная часть

В работе использовались следующие реактивы и растворители:

Таблица 4.1

| Название | Производитель | Чистота | Примечание |
|-----------------------|-----------------|---------|---------------------|
| dcc | Alfa Aesar | 99% | |
| 4-Гидроксипиперидин | Alfa Aesar | 97% | |
| dmap | | | |
| diad | | | |
| Морфолин | Реахим | Ч | |
| Пентафторацетофенон | P&M Invest | 99% | |
| Пентафторбензальдегид | ОХП НИОХ СО РАН | 99% | |
| Пиперазин | Aldrich | 99% | |
| Трифенилфосфин | Lancaster | 99% | |
| Триэтиламин | AppliChem | 99.5% | |
| Фенилгидразин | Acros Organics | 97% | |
| Хлористый бензоил | Реахим | Ч | Перегнан |
| Ацетон | ЭКОС 1 | ЧДА | |
| Ацетонитрил | Реахим | ЧДА | Над P2O5 потом сита |
| Бензол | Реахим | ЧДА | Над Na |
| Гексан | Реахим | ЧДА | |
| Диэтиловый эфир | Кузбассоргхим | ЧДА | |
| ДМФА | Реахим | ЧДА | Над ситами |
| ТГФ | Реахим | ЧДА | Над Na |
| Толуол | Реахим | ЧДА | Над Na |
| Хлористый метилен | Реахим | ЧДА | |
| Этанол | Реахим | ЧДА | |

Спектральные данные получены в Исследовательском химическом центре коллективного пользования СО РАН. Спектры ЯМР регистрировали на спектрометрах Bruker AV-300 (^1H , 300.13 МГц; ^{19}F , 282.37 МГц) и Bruker AV-400 (^1H , 400.13 МГц) в дейтерохлороформе, ДМСО- d_6 и ацетоне- d_6 . Значения химических сдвигов протонов приведены относительно сигналов остаточных протонов растворителей. При регистрации спектров ЯМР ^{19}F в качестве внутреннего стандарта использовали C_6F_6 ($\delta_{\text{F}} = 0$ м.д.). Спектры ЯМР ^{13}C регистрировали в режиме широкополосной развязки (broadband decoupling, BB). Электронные спектры поглощения регистрировали на спектрофотометре Hewlett Packard 8453. Масс-спектры

высокого разрешения получены на приборе DFS (Thermo Fisher Scientific) в режиме прямого ввода, энергия ионизации 70 эВ. Масс-спектры методом MALDI-TOF получены на приборе Autoflex Speed MALDI-TOF «Bruker Daltonic» (Германия) в режиме положительного отраженного иона, частота лазера — 1000 Гц, ускоряющее напряжение — 19 кВ¹.

Альдегид **5** синтезировали по [36; 68].

4-3,5-Бис[2,3,5,6-тетрафтор-4-(4-гидроксипиперидин-1-ил)фенил]-4,5-дигидро-

про-1H-пиразол-1-илбензальдегид (10a). Раствор 3.00 г (5.9 ммоль) альдегида **5** и 1.80 г (17.8 ммоль) 4-гидроксипиперидина в 50 мл сухого ДМФА нагревали до 100 °С, выдерживали при этой температуре 6 часов и оставляли на ночь. Реакционную смесь выливали в 400 мл воды со льдом, перемешивали до таяния льда и отфильтровывали осадок. Осадок на фильтре промывали водой до нейтральной реакции, затем гексаном и сушили на воздухе. Желто-оранжевый порошок, выход 3.70 г (93 %). Продукт очищали колоночной хроматографией на SiO₂, элюент — CH₂Cl₂ : ацетонитрил, градиент 5:1 – 2:3. Собирали желтые фракции, анализировали ТСХ (CH₂Cl₂ : ацетонитрил, 2:1, R_f ≈ 0.25 – 0.3). T_{пл.} 155–159 °С. МС (DFS) Найдено [M⁺]: 668.2023. C₃₂H₂₈O₃N₄F₈. Рассчитано: М 668.2028. ЯМР ¹H (ацетон-d₆) δ, м.д.: 9.77 (с, 1 H, CHO), 7.76 (д, 2 H, 2 H_{Ar}, J = 8.8 Гц), 7.17 (д, 2 H, 2 H_{Ar}, J = 8.8 Гц), 5.98, 4.16, 3.90 (все дд, все по 1 H, система ABX пиразолина, J = 18.2, 13.1, 5.3 Гц), 3.86–3.69 (м, 3 H), 3.63–3.47 (м, 2 H), 3.47–3.31 (м, 2 H), 3.28–3.17 (м, 2 H), 3.17–3.03 (м, 2 H), 2.00–1.82 (м, 4 H), 1.77–1.50 (м, 4 H). ЯМР ¹⁹F (ацетон-d₆) δ, м.д.: 22.27 (дд, 2 F, J = 18.4, 6.9 Гц), 18.05 (уш. с., 2 F), 12.62 (дд, 2 F, J = 20.8, 6.5 Гц), 11.67 (дд, 2 F, J = 17.6, 6.0 Гц). ЯМР ¹³C (CDCl₃) δ, м.д.: 190.41, 147.40, 146.52, 146.02, 144.49, 144.05, 142.98, 141.03, 140.61, 131.67, 131.03, 130.93, 128.59, 112.66, 110.35, 110.22, 110.10, 104.00, 77.15, 76.90, 76.64, 67.18, 67.15, 51.57, 48.54, 48.51, 48.48, 48.44, 43.57, 34.85, 34.83.

[1-(4-Формилфенил)-4,5-дигидро-1H-пиразол-3,5-диил]бис(2,3,5,6-тетрафтор-

4,1-фенилен)бис(пиперидин-1,4-диил)дibenzoат (16a). **Способ 1** Суспензию 0.50 г (0.75 ммоль) альдегида **10a** в 10 мл сухого бензола доводили до кипения и прибавляли к ней 0.62 мл (4.5 ммоль) триэтиламина и 0.35 мл (3.0 ммоль) хлористого бензоила. После двух часов кипячения прибавляли еще столько же триэтиламина и хлористого бензоила и кипятили еще сутки. Реакционную смесь выливали в 100 мл воды и добавляли бензол до разделения фаз. Органическую фазу отделяли, сушили над Na₂SO₄ и удаляли растворитель в вакууме. Твердый остаток очищали колоночной хроматографией на SiO₂, элюент — бензол : CHCl₃, градиент 1:0–0:1. Собирали желтые фракции, элюент удаляли в вакууме и повторно очищали колоночной хроматографией на SiO₂, элюент — смесь

¹ Исследование выполнено в центре масс-спектрометрического анализа ИХБФМ СО РАН

бензол : CH_2Cl_2 1:1. Собирали желтые фракции, растворитель удаляли в вакууме. Желтое масло, выход 0.49 г (74 %).

Способ 2 К суспензии 0.20 г (0.3 ммоль) альдегида **10a** в 5 мл сухого бензола, прибавляли 0.11 мл (0.75 ммоль) хлористого бензоила, 0.13 мл (0.75 ммоль) триэтиламина и 2 мг DMAP. Реакционную смесь кипятили 6 часов, оставляли на ночь и удаляли растворитель в вакууме. Полученное масло очищали колоночной хроматографией на SiO_2 , элюент — смесь ацетонитрил : CH_2Cl_2 , градиент 1:1 – 8:1, собирали желтую фракцию, элюент удаляли в вакууме, полученное масло промывали смесью гексана с диэтиловым эфиром 1:1. Светло-желтый порошок, выход 0.19 г (74 %). $T_{\text{пл.}}$ 180–183 °C. МС (DFS) Найдено $[\text{M}^+]$: 876.2548. $\text{C}_{46}\text{H}_{36}\text{O}_5\text{N}_4\text{F}_8$. Рассчитано: М 876.2553. ЯМР ^1H (CDCl_3) δ , м.д.: 9.77 (с, 1 H, CHO), 8.00 – 8.14 (м, 4 H_{Ar}), 7.73 (д, 2 H_{Ar} , $J = 8.4$ Гц), 7.61 – 7.52 (м, 2 H_{Ar}), 7.50 – 7.39 (м, 4 H_{Ar}), 7.13 (д, 2 H_{Ar} , $J = 8.4$ Гц), 5.75, 3.95 (оба дд, оба по 1 H, пиразолин, $J = 17.8$, 13.0, 5.9 Гц), 5.35 – 5.11 (м, 3 H, 2 CH–OH, пиразолин), 3.65 – 3.41 (м, 4 H), 3.41 – 3.13 (м, 4 H), 2.26 – 2.03 (м, 4 H), 2.03 – 1.87 (м, 4 H). ЯМР ^{19}F (CDCl_3) δ , м.д.: 21.14 (д, 2 F, $J = 12.2$ Гц), 16.72 (уш. с, 2 F), 11.74 (с, 2 F), 11.14 – 9.71 (м, 2 F).

(E)-{[1-(4-{2-[3-(Дицианометилен)-5,5-диметилциклогекс-1-ен-1-ил]винил}фенил)-4,5-дигидро-1H-пиразол-3,5-диил]бис(2,3,5,6-тетрафтор-4,1-фенилен)-

}бис(пиперидин-1,4-диил)дибензоат (12a). **Способ 1.** К суспензии 0.48 г (0.55 ммоль) альдегида **16a** в 15 мл бутанола прибавляли 0.10 г дицианоизофорона и 5 капель морфолина. Смесь кипятили в атмосфере аргона 7 часов, растворитель удаляли в вакууме. Твердый остаток очищали колоночной хроматографией на SiO_2 , элюент — CH_2Cl_2 : гексан, градиент 1:1 – 0:1, затем ацетонитрил. Собирали красные фракции.

Способ 2. К суспензии 0.10 г (0.12 ммоль) соединения **13a** в 5 мл сухого бензола прибавляли 0.35 мл (0.30 ммоль) хлористого бензоила, 0.42 мл (0.30 ммоль) триэтиламина и 7 мг DMAP. Реакционную смесь кипятили в атмосфере аргона 10 часов, добавив еще столько же хлористого бензоила. Растворитель удаляли в вакууме. Очищали колоночной хроматографией на SiO_2 , элюент — смесь ацетонитрил : CH_2Cl_2 , градиент 1:10 – 1:1. Собирали оранжевые фракции, растворитель удаляли в вакууме. Темно-оранжевый порошок, $T_{\text{пл.}}$ 145–147 °C. ЭСП (ацетон) λ_{max} (lg ϵ): 490 нм (4.73). МС (MALDI-TOF) Найдено $[\text{M} + \text{H}]^+$: 1045.3609. $\text{C}_{56}\text{H}_{48}\text{O}_4\text{N}_6\text{F}_8$. Рассчитано: $[\text{M} + \text{H}]$ 1045.3682. ЯМР ^1H (CDCl_3) δ , м.д.: 8.12 = 7.99 (м, 4 H_{Ph}), 7.61 = 7.51 (м, 2 H_{Ar}), 7.49 = 7.30 (м, 5 H, 2 H_{Ar} , 3 H_{Ph}), 7.21 = 7.03 (м, 3 H_{Ph}), 6.97 (д, 1 H, CH=, $J = 16.0$ Гц), 6.81 (д, 1 H, =CH, $J = 16.0$ Гц), 6.74 (с, 1 H, CH_{isoph}), 5.72 (дд, 1 H_{pyr} , $J = 12.4$, 5.8 Гц), 5.30 = 5.10 (м, 2 H, CH_{pip}), 4.04 = 3.80 (м, 1 H_{pyr}), 3.61 = 3.16 (м, 9 H, 4 $\text{CH}_{2\text{pip}}$, 1 H_{pyr}), 2.56 (с, 2 H, $\text{CH}_{2\text{isoph}}$), 2.42 (с, 2 H, $\text{CH}_{2\text{isoph}}$), 2.20 = 1.86 (м, 8 H, 4 $\text{CH}_{2\text{pip}}$), 1.24 (с, 6 H, 2 $\text{CH}_{3\text{isoph}}$). ЯМР ^{19}F (CDCl_3) δ , м.д.: 20.92 = 20.76 (м, 2 F), 16.76 (уш. с, 2 F), 11.60 (с, 2 F), 10.27 = 10.10 (м, 2 F).

(E)-2-[3-(4-{3,5-Бис[2,3,5,6-тетрафтор-4-(4-гидроксипиперидин-1-ил)фенил]-4,5-дигидро-1H-пиразол-1-ил}стирил)-5,5-диметилциклогекс-2-ен-1-илиден]мало-

R23

нонитрил (13a). К раствору 0.25 г (0.37 ммоль) альдегида **17a** и 0.070 г (0.37 ммоль) дицианоизофорона в 5 мл бутанола прибавляли 5 капель морфолина, кипятили в атмосфере аргона 7 часов и оставляли на ночь. Выпавший осадок отфильтровывали, промывали этанолом и диэтиловым эфиром. Темно-красный порошок, выход 0.13 г (42 %). ЯМР ^1H (CDCl_3) δ , м.д.: 7.37 (д, 2 H_{Ar} , $J=8.7$ Гц), 7.05 (д, 2 H_{Ar} , $J=8.7$ Гц), 6.96 (д, 1 H , $\text{CH}=\text{}$, $J=15.9$ Гц), 6.80 (д, 1 H , $=\text{CH}$, $J=15.9$ Гц), 6.73 (с, 1 H , CH_{isoph}), 5.71 (дд, 1 H_{pyr} , $J=13.0$, 5.6 Гц), 3.99–3.76 (м, 3 H , 2 CH_{pip} , 1 H_{pyr}), 3.75–3.60 (м, 2 H , 2 OH_{pip}), 3.55–3.44 (м, 2 H , $\text{CH}_{2\text{pip}}$), 3.44–3.31 (м, 3 H , $\text{CH}_{2\text{pip}}$, 1 H_{pyr}), 3.25–3.02 (м, 4 H , 2 $\text{CH}_{2\text{pip}}$), 2.55 (с, 2 H , $\text{CH}_{2\text{isoph}}$), 2.41 (с, 2 H , $\text{CH}_{2\text{isoph}}$), 1.97 (м, 4 H , 2 $\text{CH}_{2\text{pip}}$), 1.78–1.63 (м, 4 H , 2 $\text{CH}_{2\text{pip}}$), 1.04 (с, 6 H , 2 $\text{CH}_{3\text{isoph}}$). ЯМР ^{19}F (CDCl_3) δ , м.д.: 20.65 (дд, 2 F , $J=19.6$, 7.9 Гц), 16.69 (уш. с, 2 F), 11.44 (с, 2 F), 10.11 (д, 2 F , $J=19.6$, 8.3 Гц).

Диэфиры 12b,d (общая методика) К раствору соединения **13a** в 6 мл сухого бензола добавляли соответствующий хлорангидрид, триэтиламин и 1 мг DMAP. Полученную смесь кипятили до окончания реакции. Растворитель удаляли в вакууме, твердый остаток очищали колоночной хроматографией на SiO_2 . Элюент удаляли в вакууме, твердый продукт промывали гексаном или смесью гексан-эфир.

(E)-{[1-(4-{2-[3-(Дицианометил)-5,5-диметилциклогекс-1-ен-1-ил]винил}фенил)-4,5-дигидро-1H-пиразол-3,5-диил]бис(2,3,5,6-тетрафтор-4,1-фенилен)-}бис(пиперидин-1,4-диил) бис[4-метил-3,5-бис({2,3,5,6-тетрафтор-4-(трифторметил)-фенил}тио)метил)бензоат] (12b).

пиперидин
с двумя
TAFS R30

По общей методике из 0.10 г (0.12 ммоль) соединения **13a**, 0.24 г (0.36 ммоль) $\text{TAFS}-\text{Cl}$, 0.10 мл (0.72 ммоль, 6 экв.) триэтиламина и 0.001 г DMAP. Время реакции 2 часа. Твердый остаток после удаления растворителя очищали колоночной хроматографией на SiO_2 , элюент — CH_2Cl_2 . Темно-красный порошок, выход 0.075 г (30 %). $T_{\text{пл}}$ 93–95 °C. ЭСП (ацетон) λ_{max} ($\lg \varepsilon$): 491 нм (4.73). МС (MALDI-TOF) Найдено $[\text{M} - \text{H}]^-$: 2119.2502. $\text{C}_{92}\text{H}_{56}\text{O}_4\text{N}_6\text{F}_{36}\text{S}_4$. Рассчитано: $[\text{M} - \text{H}]$ 2119.2598. ЯМР ^1H (CD_3CN) δ , м.д.: 7.68–7.61 (м, 4 H_{TAFS}), 7.57 (д, 2 H_{Ar} , $J=8.6$ Гц), 7.22 (д, 1 H , $\text{CH}=\text{}$, $J=16.2$ Гц), 7.15 (д, 2 H_{Ar} , $J=8.6$ Гц), 7.09 (д, 1 H , $=\text{CH}$, $J=16.2$ Гц), 6.87 (с, 1 H , CH_{isoph}), 5.95 (дд, 1 H_{pyr} , $J=11.3$, 3.4 Гц), 5.28–5.09 (м, 2 H , 2 CH_{pip}), 4.49–4.37 (м, 8 H , 4 $\text{CH}_{2\text{TAFS}}$), 4.24–3.99 (м, 1 H_{pyr}), 3.73–3.23 (м, 9 H , 1 H_{pyr} , 4 $\text{CH}_{2\text{pip}}$), 2.60 (с, 2 H , $\text{CH}_{2\text{isoph}}$), 2.21 (с, 6 H , 2 $\text{CH}_{3\text{TAFS}}$), 2.18–2.11 (м, 4 H , 2 $\text{CH}_{2\text{pip}}$), 2.00–1.80 (м, 4 H , 2 $\text{CH}_{2\text{pip}}$), 1.45–1.34 (м, 2 H , $\text{CH}_{2\text{isoph}}$), 1.14 (с, 6 H , 2 $\text{CH}_{3\text{isoph}}$). ЯМР ^{19}F (CD_3CN) δ , м.д.: 109.21–105.32 (м, 12 F , 4 CF_3), 32.41–31.58 (м, 8 F), 22.10–21.54 (м, 10 F), 17.84 (уш. с, 2 F), 12.98–12.06 (м, 2 F), 11.83–10.84 (м, 2 F).

(*E*)-{[1-(4-{2-[3-(Дицианометилен)-5,5-диметилциклогекс-1-ен-1-ил]винил}фенил)-4,5-дигидро-1*H*-пиразол-3,5-диил]бис(2,3,5,6-тетрафтор-4,1-фенилен)-}бис(пиперидин-1,4-диил) бис[3,5-бис({4-(трет-бутил)фенил}тио)метил)-4-метилбензоат] (**12c**).

По общей методике из 0.06 г (0.07 ммоль) соединения **13a**, 0.12 г (0.22 ммоль) TATBS–Cl, 0.14 мл (1.1 ммоль) триэтиламина и 0.001 г DMAP. Время реакции 6 часов. Твердый остаток после удаления растворителя очищали колоночной хроматографией на SiO₂, элюент — бензол. Темно-красный порошок, выход 0.070 г (55 %). МС (MALDI-TOF) Найдено [M + H]⁺: 1785.7141. C₁₀₄H₁₀₈O₄N₆F₈S₄. Рассчитано: [M + H] 1785.7260. ЯМР ¹H (ацетон-d₆) δ, м.д.: 7.78 (с, 2 H_{MATBS}), 7.75 (с, 2 H_{MATBS}), 7.60 (д, 2 H_{AR}, J = 8.7 Гц), 7.37–7.25 (м, 16 H_{MATBS}), 7.20 (д, 2 H_{AR}, J = 7.3 Гц), 7.13–7.05 (м, 2 H, CH=CH), 6.78 (с, 1 H, CH_{isoph}), 5.98 (дд, 1 H_{pyr}, J = 13.0, 5.6 Гц), 5.21–5.04 (м, 2 H, 2 CH_{pip}), 4.27 (с, 4 H, 2 CH_{2MATBS}), 4.25 (с, 4 H, 2 CH_{2MATBS}), 4.14 (дд, 1 H_{pyr}, J = 18.0, 13.0 Гц), 3.65–3.21 (м, 9 H, 4 CH_{2pip}, 1 H_{pyr}), 2.62 (с, 2 H, CH_{2isoph}), 2.59–2.56 (м, 2 H, CH_{2isoph}), 2.50 (с, 3 H, CH_{3MATBS}), 2.48 (с, 3 H, CH_{3MATBS}), 2.14–2.07 (м, 4 H, 2 CH_{2pip}), 1.99–1.75 (м, 4 H, 2 CH_{2pip}), 1.27 (с, 18 H, tBu_{MATBS}), 1.25 (с, 18 H, tBu_{MATBS}), 1.07 (с, 6 H, 2 CH_{3isoph}). ЯМР ¹⁹F (ацетон-d₆) δ, м.д.: 22.59–21.86 (м, 2 F), 18.47 (уш. с, 2 F), 13.01–12.49 (м, 2 F), 12.23–11.43 (м, 2 F).

Моноэфиры 15a–d (общая методика) К раствору 0.10 г (0.15 ммоль) соединения **14a** в 6 мл сухого бензола добавляли 0.2–0.3 ммоль соответствующего хлорангидрида, 0.2–0.3 ммоль триэтиламина и 1 мг DMAP. Полученную смесь кипятили до окончания реакции. Растворитель удаляли в вакууме, твердый остаток очищали колоночной хроматографией на SiO₂, элюент — бензол. Элюент удаляли в вакууме, твердый продукт промывали гексаном или смесью гексан-эфир.

(*E*)-1-{4-[1-(4-{2-[3-(Дицианометилен)-5,5-диметилциклогекс-1-ен-1-ил]-винил}фенил)-3-фенил-4,5-дигидро-1*H*-пиразол-5-ил]-2,3,5,6-тетрафторфенил}пиперидин-4-ил бензоат (**15a**).

По общей методике из 0.10 г (0.15 ммоль) соединения **14a**, 0.03 мл (0.23 ммоль) хлористого бензоила, 0.04 мл (0.23 ммоль) триэтиламина и 0.001 г DMAP. Время реакции 4 часа. Темно-красный порошок, выход 0.11 г (92 %). T_{пл.} 145–147 °C. ЭСП (ацетон) λ_{max} (lg ε): 499 нм (4.68). МС (DFS) Найдено [M⁺]: . C₄₆H₃₉O₂N₅F₄. Рассчитано: M . ЯМР ¹H (ацетон-d₆) δ, м.д.: 8.03 (д, 2 H_{AR}, J = 7.6 Гц), 7.82 (д, 2 H_{AR}, J = 7.6 Гц), 7.67–7.54 (м, 3 H_{Ph}), 7.54–7.36 (м, 5 H_{Ph}), 7.22 (д, 1 H, CH=, J = 15.3 Гц), 7.18–7.04 (м, 3 H, =CH, 2 H_{Ph}), 6.76 (с, 1 H, CH_{isoph}), 5.94 (дд, 1 H_{pyr}, J = 13.0, 5.6 Гц), 5.28–5.06 (м, 1 H, CH_{pip}), 4.08 (дд, 1 H_{pyr}, J = 18.0, 13.0 Гц), 3.65–3.40 (м, 3 H, 1 H_{pyr}, CH_{2pip}), 3.28 (с, 2 H, CH_{2pip}), 2.61 (с, 2 H, CH_{2isoph}), 2.56 (с, 2 H, CH_{2isoph}), 1.94–1.75 (м, 4 H, 2 CH_{2pip}), 1.06 (с, 6 H, 2 CH_{3isoph}). ЯМР ¹⁹F (ацетон-d₆) δ, м.д.: 18.23 (уш. с, 2 F), 12.70 (д, 2 F, J = 21.2 Гц).

(E)-1-{4-[1-(4-{2-[3-(Дицианометилен)-5,5-диметилциклогекс-1-ен-1-ил]-винил}фенил)-3-фенил-4,5-дигидро-1*H*-пиразол-5-ил]-2,3,5,6-тетрафторфенил}пиперидин-4-ил 4-метил-3,5-бис([2,3,5,6-тетрафтор-4-(трифторметил)фенил]тио)метилбензоат (15b). По общей методике из 0.10 г (0.15 ммоль) соединения **14a**,

пиперидин
с одним
TAFS R36

0.15 г (0.23 ммоль) TAFS–Cl, 0.04 мл (0.23 ммоль) триэтиламина и 0.001 г DMAP. Время реакции 2.5 часа. Темно-красный порошок, выход 0.19 г (97 %). $T_{пл}$ 108–111 °C. ЭСП (ацетон) λ_{max} (lg ϵ): 499 нм (4.61). МС (MALDI-TOF) Найдено $[M + H]^+$: 1308.2568. $C_{63}H_{43}O_2N_5F_{18}S_2$. Рассчитано: $[M + H]$ 1308.2644. ЯМР 1H (ацетон- d_6) δ , м.д.: 7.84 (д, 2 H_{Ar} , $J = 8.8$ Гц), 7.65 (с, 2 H_{TAFS}), 7.58 (д, 2 H_{Ar} , $J = 8.8$ Гц), 7.50–7.38 (м, 3 H_{ph}), 7.34 (с, 1 H_{ph}), 7.28–7.04 (м, 3 H , 1 H_{ph} , $CH=CH$), 6.77 (с, 1 H , CH_{isoph}), 5.95 (дд, 1 H_{pyr} , $J = 12.9$, 5.7 Гц), 5.17–5.00 (м, 1 H , CH_{pip}), 4.47 (с, 4 H , 2 CH_{2TAFS}), 4.09 (дд, 1 H_{pyr} , $J = 17.8$, 12.9 Гц), 3.64–3.18 (м, 5 H , 1 H_{pyr} , 2 CH_{2pip}), 2.66 (с, 3 H , CH_{3TAFS}), 2.61 (с, 2 H , CH_{2isoph}), 2.56 (с, 2 H , CH_{2isoph}), 1.83 (с, 2 H , CH_{2pip}), 1.30–1.22 (м, 2 H , CH_{2pip}), 1.07 (с, 6 H , 2 CH_{3isoph}). ЯМР ^{19}F (ацетон- d_6) δ , м.д.: 107.51 (т, 6 F , 2 CF_3 , $J = 21.9$ Гц), 32.23–31.88 (м, 4 F), 22.26–21.42 (м, 4 F), 18.23 (уш. с, 2 F), 12.65 (дд, 2 F , $J = 21.9$, 8.2 Гц).

(E)-1-{4-[1-(4-{2-[3-(Дицианометилен)-5,5-диметилциклогекс-1-ен-1-ил]-винил}фенил)-3-фенил-4,5-дигидро-1*H*-пиразол-5-ил]-2,3,5,6-тетрафторфенил}пиперидин-4-ил 3,5-бис([4-(трет-бутил)фенил]тио)метил4-метилбензоат (15c).

пиперидин
с одним
TATBS R31

Способ 1. По общей методике из 0.10 г (0.15 ммоль) соединения **14a**, 0.12 г (0.23 ммоль) TATBS–Cl, 0.06 мл (0.4 ммоль) триэтиламина и 0.001 г DMAP. Время реакции 3 часа. Темно-красный порошок, выход 0.10 г (59 %).

Способ 2. К раствору 0.05 г (0.75 ммоль) соединения **14a**, 0.04 г (0.75 ммоль) TATBS–ОН и 0.03 г (0.11 ммоль) трифенилфосфина в 6 мл сухого ТГФ при перемешивании в атмосфере аргона по каплям прибавляли раствор 0.02 мл DIAD в 4 мл сухого ТГФ. Реакционную смесь выдерживали при комнатной температуре 2.5 часа, растворитель удаляли в вакууме. Твердый остаток очищали колоночной хроматографией на SiO_2 , элюент — бензол. Собирали красные фракции, элюент удаляли в вакууме. Темно-красный порошок, выход 0.06 г (70 %).

Способ 3. Раствор 0.05 г (0.75 ммоль) соединения **14a**, 0.04 г (0.75 ммоль) TATBS–ОН, 0.02 г (0.83 ммоль) DCC и 0.001 г DMAP в 6 мл сухого бензола выдерживали 5 часов, после кипятили 7 часов. Растворитель удаляли в вакууме, Твердый остаток очищали колоночной хроматографией на SiO_2 , элюент — бензол. Собирали красные фракции, элюент удаляли в вакууме. Темно-красный порошок, выход 0.02 г (22 %). $T_{пл}$ 108–110 °C. ЭСП (ацетон) λ_{max} (lg ϵ): 499 нм (4.67). МС (MALDI-TOF) Найдено $[M + H]^+$: 1140.4823. $C_{69}H_{69}O_2N_5F_4S_2$. Рассчитано: $[M + H]$ 1140.4902. ЯМР 1H (ацетон- d_6) δ , м.д.: 7.82 (д, 2 H_{Ar} , $J = 8.5$ Гц), 7.72 (с, 2 H_{MATBS}), 7.57 (д, 2 H_{Ar} , $J = 8.5$ Гц),

7.48–7.37 (м, 3 H_{Ph}), 7.32 (с, 2 H_{Ph}), 7.30–7.21 (м, 8 H_{MATBS}), 7.20–7.00 (м, 2 H, CH=CH), 6.75 (с, 1 H, CH_{isoph}), 5.94 (дд, 1 H_{pyr}, $J=12.9$, 5.6 Гц), 5.06 (м, 1 H, CH_{pip}), 4.23 (с, 4 H, 2 CH_{2MATBS}), 4.07 (дд, 1 H_{pyr}, $J=17.8$, 12.9 Гц), 3.62–3.38 (м, 3 H, 1 H_{pyr}, CH_{2pip}), 3.34–3.16 (м, 2 H, CH_{2pip}), 2.60 (с, 2 H, CH_{2isoph}), 2.55 (с, 2 H, CH_{2isoph}), 2.47 (с, 3 H, CH_{3MATBS}), 1.90–1.73 (м, 2 H, CH_{2pip}), 1.38–1.18 (м, 20 H, 2 tBu_{MATBS}, CH_{2pip}), 1.05 (с, 6 H, 2 CH_{3isoph}). ЯМР ¹⁹F (ацетон-d₆) δ, м.д.: 18.29 (уш. с, 2 F), 12.74 (д, 2 F, $J=20.1$ Гц).

(E)-1-{4-[1-(4-{2-[3-(Дицианометилен)-5,5-диметилциклогекс-1-ен-1-ил]-винил}фенил)-3-фенил-4,5-дигидро-1H-пиразол-5-ил]-2,3,5,6-тетрафторфенил}пиперидин-4-ил 3,5-бис({[4-(трет-бутил)фенил]тио}метил)-2,4,6-триметилбензоат (15d). По общей методике из 0.09 г (0.14 ммоль) соединения **14a**, 0.11 г (0.21 ммоль) MATBS–Cl, 0.06 мл (0.4 ммоль) триэтиламина и 0.001 г (0.05 экв.) DMAP. Время реакции 12 часов. Темно-красный порошок, выход 0.012 г (7.5 %). Т_{пл.} 147–150 °С. ЭСП (ацетон) λ_{max} (lg ε): 497 нм (4.64). МС (MALDI-TOF) Найдено [M + H]⁺: 1168.5130. C₇₁H₇₃O₂N₅F₄S₂. Рассчитано: [M + H] 1168.5215. ЯМР ¹H (CDCl₃) δ, м.д.: 7.74 (д, 2 H_{Ar}, $J=7.3$ Гц), 7.47–7.34 (м, 5 H_{Ph}), 7.33–7.24 (м, 8 H_{MATBS}), 7.08 (д, 2 H_{Ar}, $J=7.3$ Гц), 6.97 (д, 1 H, CH=, $J=16.1$ Гц), 6.81 (д, 1 H, =CH, $J=16.1$ Гц), 6.74 (с, 1 H, CH_{isoph}), 5.74 (дд, 1 H_{pyr}, $J=13.0$, 6.0 Гц), 5.28 (с, 6 H, 2 CH_{3MATBS}), 5.17–5.03 (м, 1 H, CH_{pip}), 4.10 (с, 4 H, 2 CH_{2MATBS}), 3.87 (дд, 1 H_{pyr}, $J=17.4$, 13.0 Гц), 3.47–3.33 (м, 3 H, 1 H_{pyr}, CH_{2pip}), 3.25–3.13 (м, 2 H, CH_{2pip}), 2.56 (с, 2 H, CH_{2isoph}), 2.47–2.36 (м, 5 H, CH_{3MATBS}, CH_{2isoph}), 2.10–1.96 (м, 2 H, CH_{2pip}), 1.94–1.79 (м, 2 H, CH_{2pip}), 1.27 (с, 18 H, 2 tBu_{MATBS}), 1.04 (с, 6 H, 2 CH_{3isoph}). ЯМР ¹⁹F (CDCl₃) δ, м.д.: 16.86 (уш. с, 2 F), 11.57 (д, 2 F, $J=20.4$ Гц).

пиперидин
с одним
MATBS
R32

5 Заключение

В ходе работы были достигнуты следующие результаты:

1. Начата работа по синтезу донорных блоков, исходя из декафторзамещенного трифенилпиразолина.
2. Синтезированы красители конденсацией бифункционально замещенных октафтортрифенилпиразолинов с трицианоизофороном.
3. Исследованы альтернативные пути бензоилирования хромофоров как модельной реакции для введения дендроидных фрагментов.
4. Осуществлен синтез аналога известного хромофора с новым дендроидным заместителем TAFS, поглощающего в ИК области спектра (λ_{max} 936 нм).

Список литературы

1. Формильные производные аминозамещенных полифторфенил-4,5-дигидро-1H-пиразолов: синтез и использование в качестве донорных блоков в структурах нелинейно-оптических хромофоров / В. Шелковников [и др.] // Журнал органической химии. — 2019. — Т. 55, № 10. — С. 1551—1566.
2. *Bureš F.* Fundamental aspects of property tuning in push-pull molecules // RSC Adv. — 2014. — Т. 4, № 102. — С. 58826—58851.
3. Donor-(π -bridge)-azinium as D- π -A + one-dimensional and D- π -A + π -D multidimensional V-shaped chromophores / M. A. Ramírez [и др.] // Organic and Biomolecular Chemistry. — 2012. — Т. 10, № 8. — С. 1659—1669.
4. Benzothiazoles with tunable electron-withdrawing strength and reverse polarity: A route to triphenylamine-based chromophores with enhanced two-photon absorption / P. Hrobárik [и др.] // Journal of Organic Chemistry. — 2011. — Т. 76, № 21. — С. 8726—8736.
5. Changing the shape of chromophores from "h-type" to "star-type": Increasing the macroscopic NLO effects by a large degree / W. Wu [и др.] // Polymer Chemistry. — 2013. — Т. 4, № 2. — С. 378—386.
6. *Chase D. T., Young B. S., Haley M. M.* Incorporating BODIPY fluorophores into tetrakis(arylethynyl)benzenes // Journal of Organic Chemistry. — 2011. — Т. 76, № 10. — С. 4043—4051.
7. Property tuning in charge-transfer chromophores by systematic modulation of the spacer between donor and acceptor / F. Bureš [и др.] // Chemistry - A European Journal. — 2007. — Т. 13, № 19. — С. 5378—5387.
8. Dicyanopyrazine-derived push-pull chromophores for highly efficient photoredox catalysis / Y. Zhao [и др.] // RSC Advances. — 2014. — Т. 4, № 57. — С. 30062—30067.
9. Blue organic light-emitting diodes based on pyrazoline phenyl derivative / P. Stakhira [и др.] // Synthetic Metals. — 2012. — Т. 162, № 3/4. — С. 352—355.
10. *Ramkumar V., Kannan P.* Highly fluorescent semiconducting pyrazoline materials for optoelectronics // Optical Materials. — 2015. — Т. 46. — С. 605—613.
11. *Vandana T., Ramkumar V., Kannan P.* Synthesis and fluorescent properties of poly(arylpyrazoline)'s for organic-electronics // Optical Materials. — 2016. — Т. 58. — С. 514—523.

12. A Comprehensive Review on Recent Developments in the Field of Biological Applications of Potent Pyrazolines Derived from Chalcone Precursors / V. V. Salian [и др.] // *Letters in Drug Design & Discovery*. — 2018. — Т. 15, № 5. — С. 516—574.
13. 2-Pyrazolines as Biologically Active and Fluorescent Agents, An Overview / P. Singh [и др.] // *Anti-Cancer Agents in Medicinal Chemistry*. — 2018. — Т. 18, № 10. — С. 1366—1385.
14. Pharmacological Activity of 4,5-Dihydropyrazole Derivatives (Review) / D. D. Korablina [и др.] // *Pharmaceutical Chemistry Journal*. — 2016. — Т. 50, № 5. — С. 281—295.
15. *Hassan S.* Synthesis, Antibacterial and Antifungal Activity of Some New Pyrazoline and Pyrazole Derivatives // *Molecules*. — 2013. — Т. 18, № 3. — С. 2683—2711.
16. Synthesis and DP-IV inhibition of cyano-pyrazoline derivatives as potent anti-diabetic agents / J. H. Ahn [и др.] // *Bioorganic & Medicinal Chemistry Letters*. — 2004. — Т. 14, № 17. — С. 4461—4465.
17. Synthesis, characterization and pharmacological properties of some 4-arylhydrazono-2-pyrazoline-5-one derivatives obtained from heterocyclic amines / Ş. Güniz Küçükgülzel [и др.] // *European Journal of Medicinal Chemistry*. — 2000. — Т. 35, № 7/8. — С. 761—771.
18. *Jagadish P. C., Soni N., Verma A.* Design, Synthesis, and In Vitro Antioxidant Activity of 1,3,5-Trisubstituted-2-pyrazolines Derivatives // *Journal of Chemistry*. — 2013. — Т. 2013. — С. 1—6.
19. *Barsoum F. F., Hosni H. M., Girgis A. S.* Novel bis(1-acyl-2-pyrazolines) of potential anti-inflammatory and molluscicidal properties // *Bioorganic & Medicinal Chemistry*. — 2006. — Т. 14, № 11. — С. 3929—3937.
20. Automated parallel synthesis of chalcone-based screening libraries / D. G. Powers [и др.] // *Tetrahedron*. — 1998. — Т. 54, № 16. — С. 4085—4096.
21. *Chebanov V. A., Desenko S. M., Gurley T. W.* Azaheterocycles Based on α,β -Unsaturated Carbonyls. — Springer-Verlag Berlin Heidelberg, 2008.
22. *Wang Z.* Claisen-Schmidt Condensation // *Comprehensive Organic Name Reactions and Reagents*. — Hoboken, NJ, USA : John Wiley & Sons, Inc., 2010. — С. 660—664.
23. *Nielsen A. T., Houlihan W. J.* The Aldol Condensation // *Organic Reactions*. — Hoboken, NJ, USA : John Wiley & Sons, Inc., 2011. — С. 1—438.
24. Synthesis and antimicrobial activity of quinoline-based 2-pyrazolines / M. Munawar [и др.] // *Chemical Papers*. — 2008. — Т. 62, № 3. — С. 288—293.

25. Development of potential selective and reversible pyrazoline based MAO-B inhibitors as MAO-B PET tracer precursors and reference substances for the early detection of Alzheimer's disease / C. Neudorfer [и др.] // *Bioorganic & Medicinal Chemistry Letters*. — 2014. — T. 24, № 18. — С. 4490—4495.
26. Solution-Phase Parallel Synthesis of a Library of Δ^2 -Pyrazolines / S. Manyem [и др.] // *Journal of Combinatorial Chemistry*. — 2007. — T. 9, № 1. — С. 20—28.
27. Patel V. M., Desai K. R. Eco-friendly synthesis of pyrazoline derivatives over potassium carbonate // *Arkivoc*. — 2004. — T. 2004, № 1. — С. 123.
28. Structure-guided discovery of 1,3,5-triazine-pyrazole conjugates as antibacterial and antibiofilm agent against pathogens causing human diseases with favorable metabolic fate / B. Singh [и др.] // *Bioorganic & Medicinal Chemistry Letters*. — 2014. — T. 24, № 15. — С. 3321—3325.
29. Farooq S., Ngaini Z. One-Pot and Two-Pot Synthesis of Chalcone Based Mono and Bis-Pyrazolines // *Tetrahedron Letters*. — 2020. — T. 61, № 4. — С. 151416.
30. Rahmatzadeh S. S., Karami B., Khodabakhshi S. A Modified and Practical Synthetic Route to Indazoles and Pyrazoles Using Tungstate Sulfuric Acid // *Journal of the Chinese Chemical Society*. — 2015. — T. 62, № 1. — С. 17—20.
31. Daneshfar Z., Rostami A. Cellulose sulfonic acid as a green, efficient, and reusable catalyst for Nazarov cyclization of unactivated dienones and pyrazoline synthesis // *RSC Advances*. — 2015. — T. 5, № 127. — С. 104695—104707.
32. Marković V., Joksović M. D. "On water" synthesis of N-unsubstituted pyrazoles: semicarbazide hydrochloride as an alternative to hydrazine for preparation of pyrazole-3-carboxylate derivatives and 3,5-disubstituted pyrazoles // *Green Chemistry*. — 2015. — T. 17, № 2. — С. 842—847.
33. An atom efficient, green synthesis of 2-pyrazoline derivatives under solvent-free conditions using grinding technique / S. B. Zangade [и др.] // *Green Chemistry Letters and Reviews*. — 2013. — T. 6, № 2. — С. 123—127.
34. Synthesis, characterization and pharmacological study of 4,5-dihydropyrazolines carrying pyrimidine moiety / A. Adhikari [и др.] // *European Journal of Medicinal Chemistry*. — 2012. — T. 55. — С. 467—474.
35. Green synthesis and anti-infective activities of fluorinated pyrazoline derivatives / S. N. Shelke [и др.] // *Bioorganic & Medicinal Chemistry Letters*. — 2012. — T. 22, № 17. — С. 5727—5730.

36. Взаимодействие полифторхалконов с гидразингидратом и фенилгидразином / К. Шмуйлович [и др.] // Известия Академии наук. Серия химическая. — 2010. — Т. 5, № 7. — С. 1378—1382.
37. *Patil N. T., Singh V.* Synthesis of 1,3,5-trisubstituted pyrazolines via Zn(ii)-catalyzed double hydroamination of enynes with aryl hydrazines // *Chemical Communications*. — 2011. — Т. 47, № 39. — С. 11116.
38. *Müller T. J. J., Ansorge M., Aktah D.* An Unexpected Coupling – Isomerization Sequence as an Entry to Novel Three-Component-Pyrazoline Syntheses // *Angewandte Chemie International Edition*. — 2000. — Т. 39, № 7. — С. 1253—1256.
39. A novel methodology for synthesis of dihydropyrazole derivatives as potential anticancer agents / X. Wang [и др.] // *Org. Biomol. Chem.* — 2014. — Т. 12, № 13. — С. 2028—2032.
40. Metal-catalyzed [3+2] cycloadditions of azomethine imines / U. Grošelj [и др.] // *Chemistry of Heterocyclic Compounds*. — 2018. — Т. 54, № 3. — С. 214—240.
41. *Hashimoto T., Takiguchi Y., Maruoka K.* Catalytic Asymmetric Three-Component 1,3-Dipolar Cycloaddition of Aldehydes, Hydrazides, and Alkynes // *Journal of the American Chemical Society*. — 2013. — Т. 135, № 31. — С. 11473—11476.
42. *Baldwin J. E., Pitlik J.* 1,3-Dipolar cycloadditions of 3-methylenecephams with diazoalkanes // *Tetrahedron Letters*. — 1990. — Т. 31, № 17. — С. 2483—2486.
43. *Mish M. R., Guerra F. M., Carreira E. M.* Asymmetric dipolar cycloadditions of Me₃SiCHN₂. Synthesis of a novel class of amino acids: Azaproline // *Journal of the American Chemical Society*. — 1997. — Т. 119, № 35. — С. 8379—8380.
44. 1,3-Dipolar cycloadditions of trimethylsilyldiazomethane revisited: Steric demand of the dipolarophile and the influence on product distribution / D. Simovic [и др.] // *Journal of Organic Chemistry*. — 2007. — Т. 72, № 2. — С. 650—653.
45. Facile synthesis of novel tetrasubstituted 1-pyrazolines from Baylis–Hillman adducts and acyl diazomethanes / H. Sun [и др.] // *Tetrahedron Letters*. — 2013. — Т. 54, № 29. — С. 3846—3850.
46. *Misani F., Speers L., Lyon A. M.* Synthetic Studies in the Field of Fluorinated Cyclopropanes // *Journal of the American Chemical Society*. — 1956. — Т. 78, № 12. — С. 2801—2804.
47. *Takamizawa A., Hayashi S.* Syntheses of Pyrazole Derivatives // *YAKUGAKU ZASSHI*. — 1963. — Т. 83, № 4. — С. 373—377.
48. *Takamizawa A., Hayashi S., Sato H.* Syntheses of Pyrazole Derivatives. VIII // *YAKUGAKU ZASSHI*. — 1965. — Т. 85, № 2. — С. 158—165.

49. *Armstrong S. E., Tipping A. E.* Novel 1:1 adducts from the reaction of hexafluoroacetone azine with various olefins and 1,3-dienes; Diels-Alder adducts as intermediates in the formation of criss-cross 2:1 adducts // *Journal of Fluorine Chemistry*. — 1973. — T. 3, № 1. — С. 119—121.
50. Synthesis of 1H-3-pyrazolines / *K. Burger [и др.]* // *Tetrahedron*. — 1979. — T. 35, № 3. — С. 389—395.
51. *Pyrazoles, Pyrazolines, Pyrazolidines, Indazoles and Condensed Rings / R. H. Wiley [и др.]* // *Chemistry of Heterocyclic Compounds*. Т. 22. — Hoboken : John Wiley & Sons, Inc., 1967.
52. *Zolfigol M. A., Azarifar D., Maleki B.* Trichloroisocyanuric acid as a novel oxidizing agent for the oxidation of 1,3,5-trisubstituted pyrazolines under both heterogeneous and solvent free conditions // *Tetrahedron Letters*. — 2004. — T. 45, № 10. — С. 2181—2183.
53. *Dodwadmath R. P., Wheeler T. S.* Studies in the chemistry of chalcones and Chalcone-Oxides // *Proceedings of the Indian Academy of Sciences - Section A*. — 1935. — T. 2, № 5. — С. 438—451.
54. *Gladstone W. A., Norman R. O.* Reactions of lead tetra-acetate. Part VII. Some reactions leading to pyrazoles // *Journal of the Chemical Society C: Organic*. — 1966. — № 1536. — С. 1536—1540.
55. *Auwers K. V., Heimke P.* Über Pyrazoline // *Justus Liebig's Annalen der Chemie*. — 1927. — T. 458, № 1. — С. 186—220.
56. Hypervalent Iodine Oxidation of 1, 3, 5-Trisubstituted Pyrazolines: A Facile Synthesis of 1,3,5-Trisubstituted Pyrazoles / *S. P. Singh [и др.]* // *Synthetic Communications*. — 1997. — T. 27, № 15. — С. 2683—2689.
57. *Walker D., Hiebert J. D.* 2,3-Dichloro-5,6-dicyanobenzoquinone and Its Reactions // *Chemical Reviews*. — 1967. — T. 67, № 2. — С. 153—195.
58. *Nakamichi N., Kawashita Y., Hayashi M.* Oxidative Aromatization of 1,3,5-Trisubstituted Pyrazolines and Hantzsch 1,4-Dihydropyridines by Pd/C in Acetic Acid // *Organic Letters*. — 2002. — T. 4, № 22. — С. 3955—3957.
59. *Kojima M., Kanai M.* Tris(pentafluorophenyl)borane-Catalyzed Acceptorless Dehydrogenation of N-Heterocycles // *Angewandte Chemie International Edition*. — 2016. — T. 55, № 40. — С. 12224—12227.
60. *Shah J. N., Shah C. K.* Oxidative dehydrogenation of pyrazolines with cobalt(II) and oxygen // *The Journal of Organic Chemistry*. — 1978. — T. 43, № 6. — С. 1266—1267.
61. Visible light mediated metal-free oxidative aromatization of 1,3,5-trisubstituted pyrazolines / *S. B. Annes [и др.]* // *Tetrahedron Letters*. — 2019. — T. 60, № 34. — С. 150932.

62. *Traven V. F., Dolotov S. M., Ivanov I. V.* Activation of fluorescence of lactone forms of rhodamine dyes by photodehydrogenation of aryl(hetaryl)pyrazolines // Russian Chemical Bulletin. — 2016. — T. 65, № 3. — С. 735—740.
63. *Jakob F., Herdtweck E., Bach T.* Synthesis and Properties of Chiral Pyrazolidines Derived from (+)-Pulegone // Chemistry - A European Journal. — 2010. — T. 16, № 25. — С. 7537—7546.
64. A convenient synthesis of substituted pyrazolidines and azaproline derivatives through highly regio- and diastereoselective reduction of 2-pyrazolines / J. M. De Los Santos [и др.] // Journal of Organic Chemistry. — 2008. — T. 73, № 2. — С. 550—557.
65. *Mish M. R., Guerra F. M., Carreira E. M.* Asymmetric Dipolar Cycloadditions of Me₃SiCHN₂. Synthesis of a Novel Class of Amino Acids: Azaproline // Journal of the American Chemical Society. — 1997. — T. 119, № 35. — С. 8379—8380.
66. *Carter H. E., Abeele F. R. V., Rothrock J. W.* A GENERAL METHOD FOR THE SYNTHESIS OF α,γ -DIAMINO ACIDS // Journal of Biological Chemistry. — 1949. — T. 178. — С. 325—334.
67. Synthesis and nonlinear optical properties of donor-acceptor dyes based on triphenylpyrazolines as a donor block and dicyanoisophorone as acceptor / V. V. Shelkovnikov [и др.] // Russian Chemical Bulletin. — 2019. — T. 68, № 1. — С. 92—98.
68. Синтез несимметричных тиофлавилиевых красителей на основе производный юлолидина и полифторированных трифенилпиразолинов / И. Каргаполова [и др.] // Журнал органической химии. — 2016. — Т. 52. — С. 10—14.

Приложение А Спектры некоторых соединений

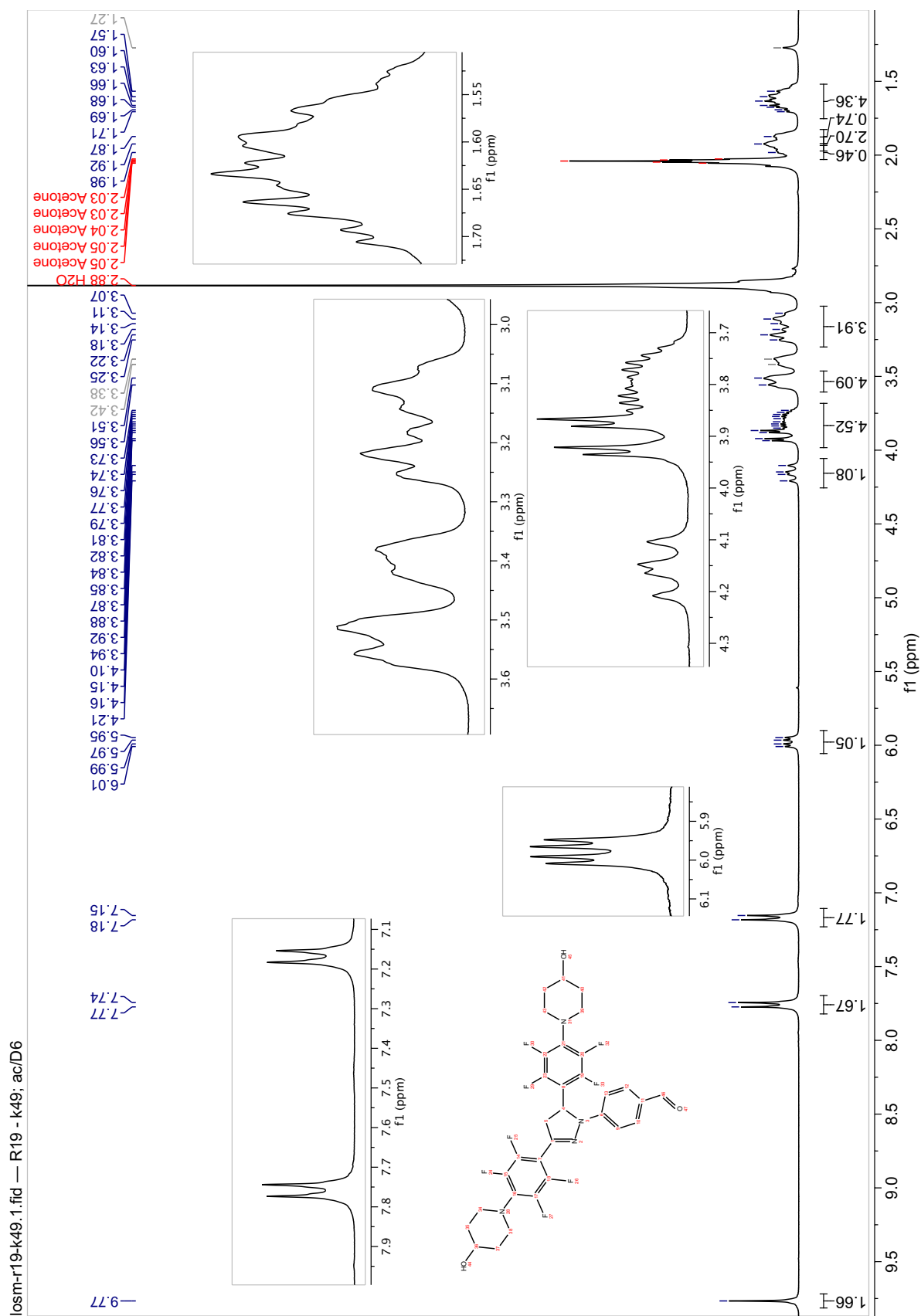


Рис. А.1: Спектр ЯМР ^1H соединения 10a

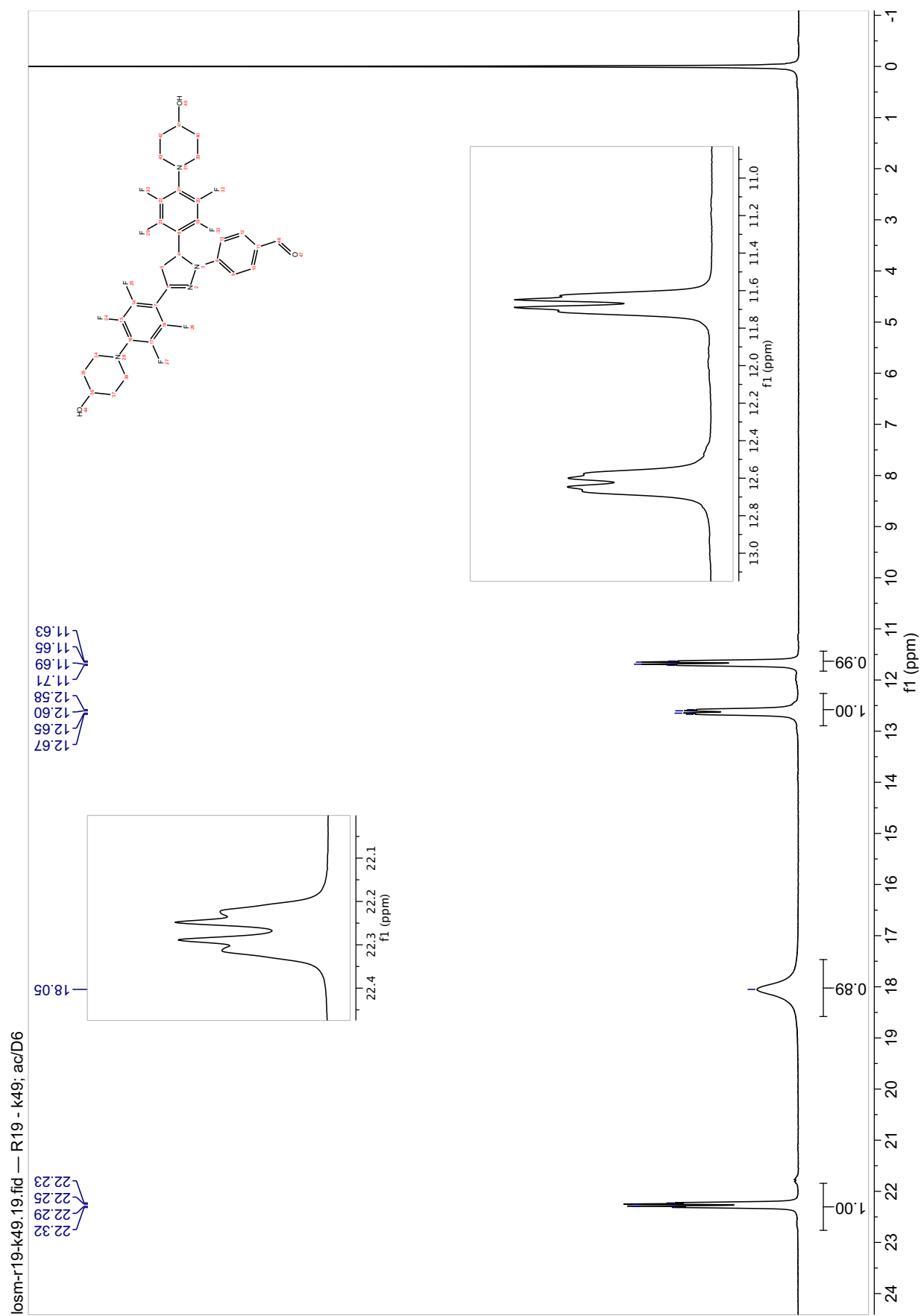


Рис. А.2: Спектр ЯМР ^{19}F соединения **10a**

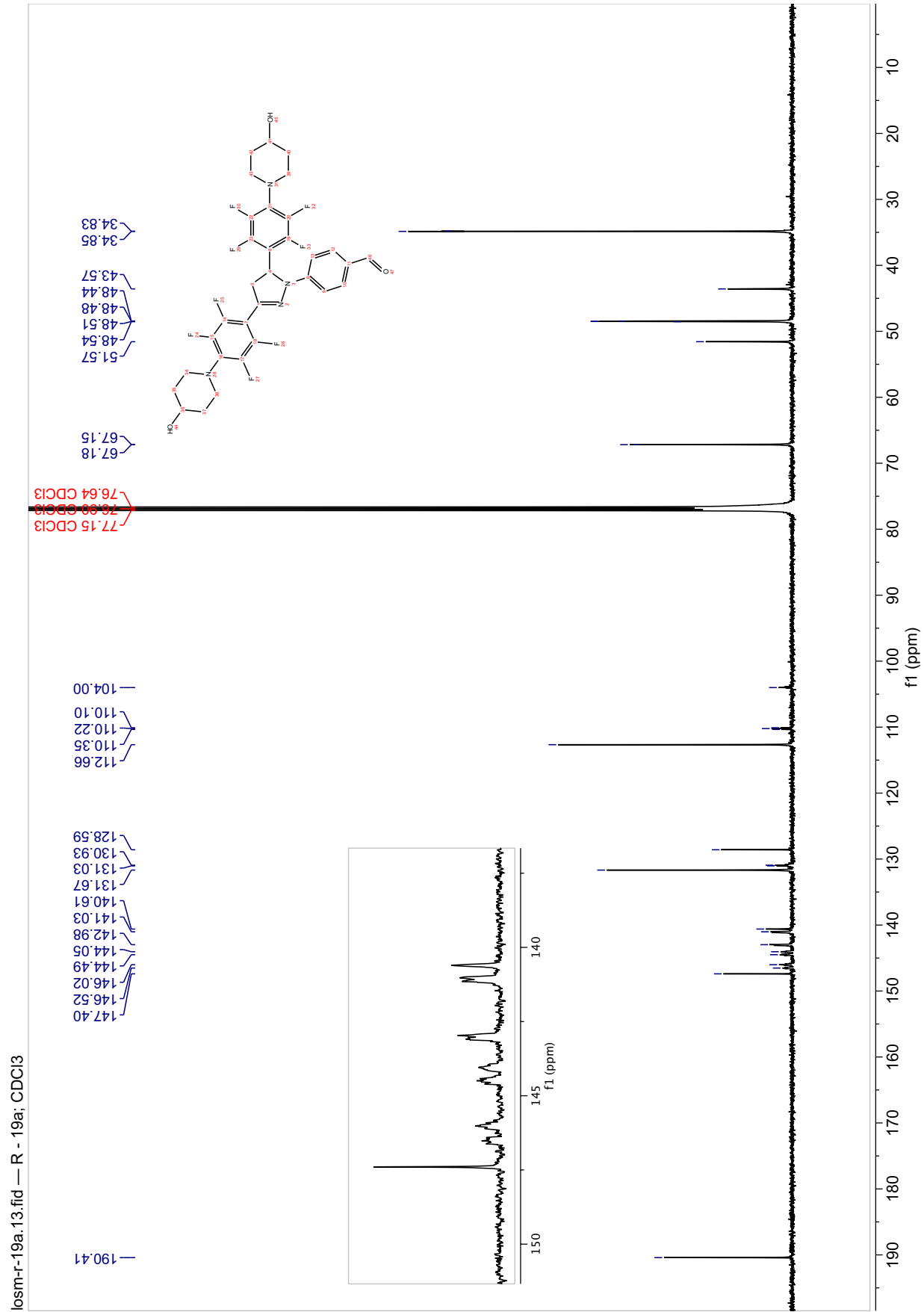


Рис. А.3: Спектр ЯМР ¹³C соединения 10а

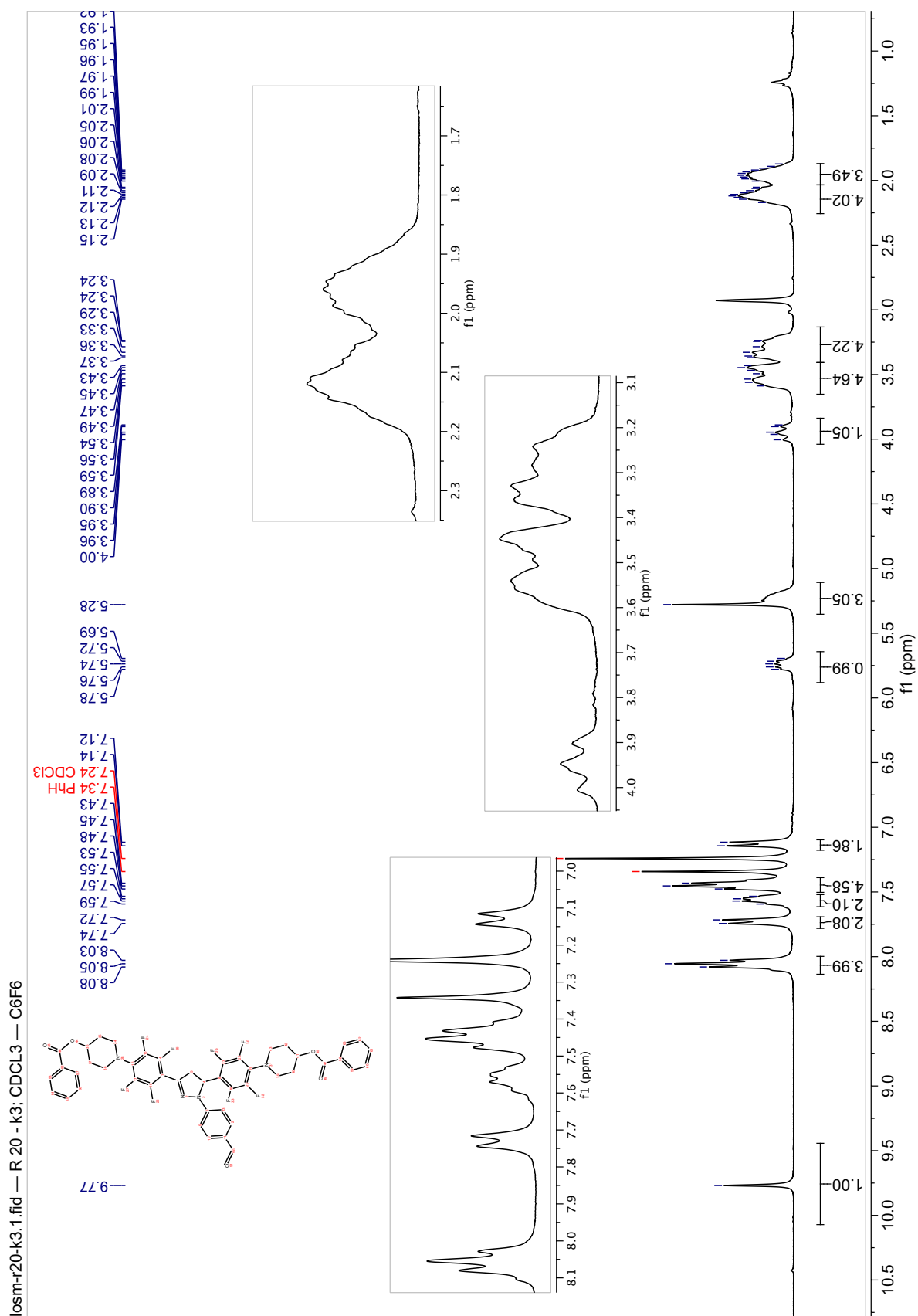


Рис. А.4: Спектр ЯМР ^1H соединения **16a**

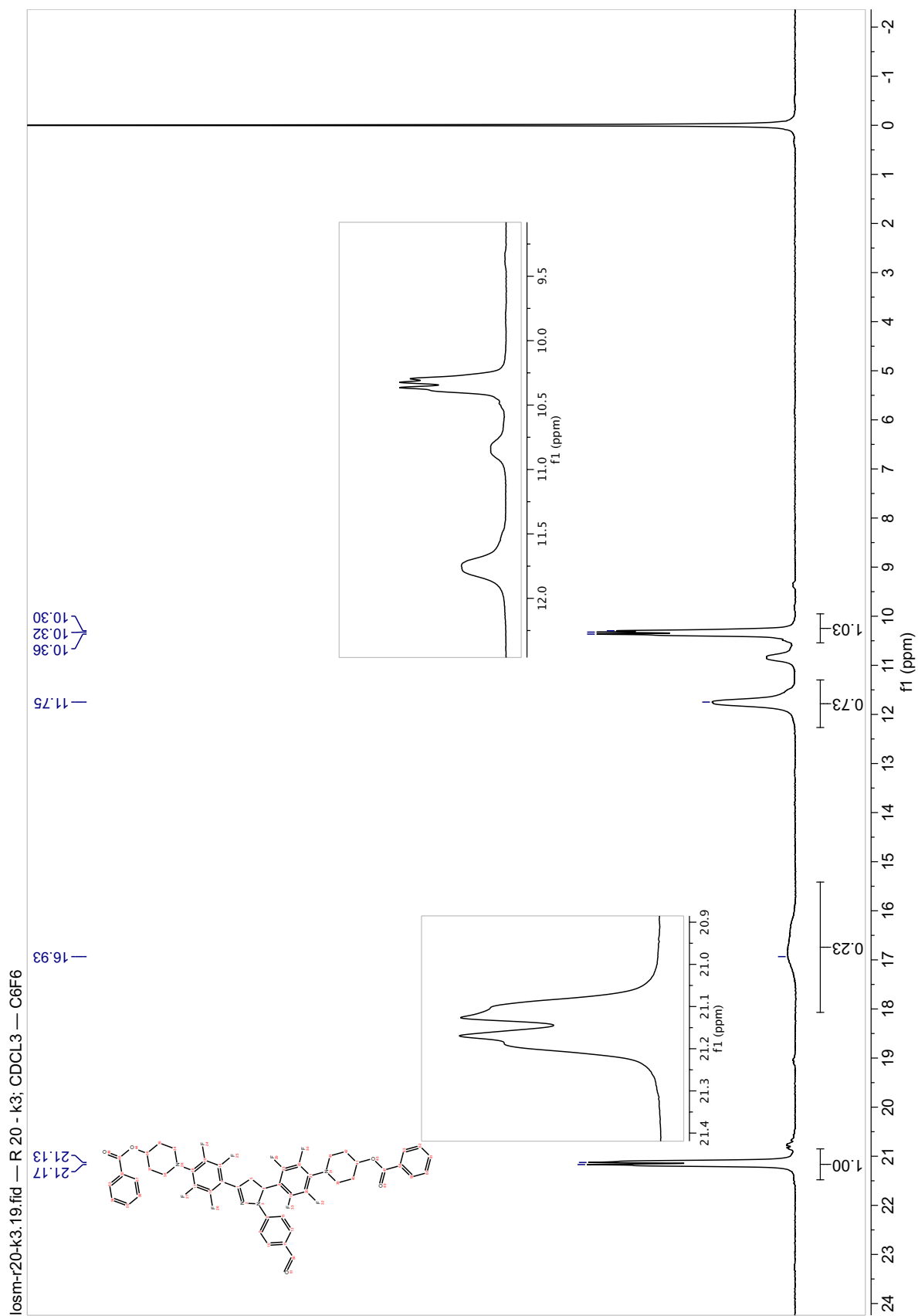


Рис. А.5: Спектр ЯМР ^{19}F соединения 16a